

# Capitolul 5

## Securitatea comunicațiilor *GSM*

### 5.1 Descrierea sistemului *GSM*

*GSM* (Global System for Mobile Communications) a fost dezvoltat de 3GPP (*3rd Generation Partnership Project*) ca standard pentru comunicațiile celulare digitale. Lucrările de proiectare au început în anul 1987, sistemul fiind realizat în forma finală prin cooperarea a 17 țări europene; punerea în funcțiune a primelor rețele *GSM* s-a realizat în 1991.

Deși inițial *GSM* era destinat doar ca un standard european, el s-a răspândit rapid în întreaga lume; de remarcat că la nivel mondial există de asemenea și *ADC* (*American Digital Cellular*) – sistemul digital nord-american și *JDC* (*Japanese Digital Cellular*) – sistemul digital din Japonia. Se estimează că în acest moment 82% din piața mobilă la nivel global folosește standardul *GSM*. La sfârșitul anului 2005 sistemul dispunea de 1,5 miliarde utilizatori, iar astăzi numai câteva țări – printre care Japonia și Coreea de Sud – nu se află sub acoperirea sistemului *GSM*.

Printre motivele care au stat la baza acestei expansiuni putem aminti îmbunătățirile din domeniul tehnologiei telecomunicațiilor, precum și reducerile constante de prețuri – atât pentru infrastructură cât și pentru telefoanele mobile. Sistemul *GSM* este bazat pe o tehnologie celulară de a doua generație – *2G* (oferă voce digitală, spre deosebire de tehnica analogică folosită în sistemele anterioare). Mulți operatori continuă să investească în dezvoltarea rețelelor *GSM*, acest lucru neîmpiedicând preocupările de a introduce noi funcționalități și de a micșora costul lor operațional.

Standardul *GSM* s-a dezvoltat continuu, așa încât versiunea 97 a fost îmbogățită cu *GPRS* – serviciul de transfer pe pachete de date – care permite ca informația digitală să circule printr-o rețea de telefonie mobilă. Sistemele celulare *2G* combinate cu *GPRS* sunt de multe ori descrise ca *2.5G*. Acesta completează transferul rapid de date (*CDS*) și *SMS*-ul, ajungând până la o viteză teoretică de 171.2 *kbps* (kilobiți pe secundă). O viteză și mai mare pentru transmiterea de date în *GSM* a fost introdusă de *EDGE* (tehnologie a rețelei *GSM/GPRS*, destinată să îmbunătățească calitatea serviciilor de date), care asigură o viteză de până la 236 *kbps*.

### 5.1.1 Cerințe pentru sistemul GSM

Trecerea la sistemele celulare digitale s-a datorat în principiu:

1. Capacității reduse a sistemelor analogice.
2. Necesității de a pune la dispoziția utilizatorilor un sistem compatibil cu alte sisteme digitale cu servicii integrate.

Creșterea capacității sistemelor digitale, față de sistemele analogice, se explică, pe de o parte prin creșterea capacității de trafic a macrocelulelor și – pe de altă parte – prin posibilitatea reducerii dimensiunilor celulelor, adică prin introducerea microcelulelor (sistemul celular GSM are trei tipuri de celule: macrocelule, ce acoperă o rază de 15 km, microcelule – rază de 500 m și picocelule – pe distanțe mai mici de 100 m).

Inițial, sistemul GSM a fost proiectat să îndeplinească următoarele cerințe:

1. Calitate bună a transmisiei,
2. Costuri mici pentru servicii și terminal,
3. Suport pentru deplasări internaționale,
4. Capacitate de a suporta terminale portabile,
5. Suport pentru servicii și facilități noi,
6. Eficiență spectrală și compatibilitate cu sistemul ISDN (rețea digitală cu servicii integrate, care permite interconectarea mai multor dispozitive: calculatoare, telefoane, aparate faximile etc).

### 5.1.2 Serviciile oferite de GSM

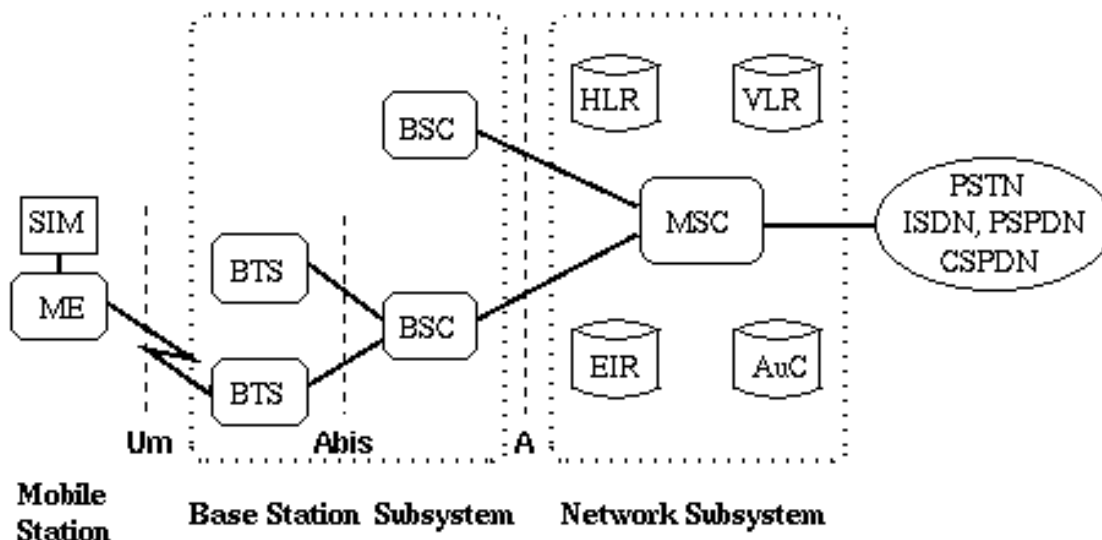
Serviciile de telecomunicații se împart în servicii de transfer de date, teleservicii, și servicii suplimentare. Teleserviciul de bază suportat de GSM este telefonie. Semnalul vocal este codificat digital și transmis prin rețeaua GSM ca un flux de semnal digital.

Un serviciu specific oferit de GSM – inexistent în sistemele analogice – este *Serviciul de Mesaje Scurte (SMS)*. Alte servicii suplimentare sunt oferite în specificațiile curente, care includ mai multe forme de transfer al apelului; ele includ identificarea apelantului, apel în așteptare, conversații multiple (conferințe) etc.

Rețeaua pe care se construiește sistemul GSM se împarte în:

1. *Stația mobilă (MS - Mobile Station)*: este componenta aflată la abonat.
2. *Subsistemul Stație de bază (BSS - Base Station Subsystem)*: controlează legătura radio cu stația mobilă.

3. *Subsistemul Rețea (Network Subsystem)*: principala sa componentă este *Centrul de comutație a serviciilor mobile (MSC - Mobile services Switching Center)*.



SIM	Subscriber Identity Module	BSC	Base Station Controller	MSC	Mobile services Switching Center
ME	Mobile Equipment	HLR	Home Location Register	EIR	Equipment Identity Register
BTS	Base Transceiver Station	VLR	Visitor Location Register	AuC	Authentication Center

Vom detalia fiecare din aceste componente.

### 5.1.3 Stația mobilă

Stația mobilă constă dintr-un echipament mobil (cunoscut și sub denumirea de "terminal") și un smartcard *SIM* (*Subscriber Identity Module*).

#### Echipamentul mobil

Cel mai cunoscut echipament mobil este telefonul celular – folosit inițial numai pentru apeluri vocale; astăzi însă, tendința este de a-i asocia tot mai multe dispozitive mobile în care telefonul este doar o componentă:

- *PDA* cu telefon mobil pentru transmisii vocale și de date.
- Console pentru jocuri cu telefon mobil integrat pentru voce și date.
- Telefoane mobile pentru voce cu interfață Bluetooth integrată, care permite dispozitivelor de tip *PDA* sau notebook să folosească telefonul pentru conexiune la Internet.

Echipamentul mobil este identificat în mod unic de *IMEI* (*International Mobile Equipment Identity*) – un cod care se găsește de obicei tipărit pe telefon, sub bateria de alimentare și este folosit strict pentru identificare, neavând o relație permanentă cu abonatul.

Componenta principală a unui telefon mobil este procesorul – care conține o unitate centrală *RISC* (cu set minimal de instrucțiuni) și un procesor cu semnal digital (*DSP*). Procesorul *RISC* este responsabil de următoarele acțiuni:

1. Manevrarea informației primite prin diversele canale (*BCCh*, *PCh* etc).
2. Stabilirea apelului și administrarea mobilității (căutarea rețelei, reactualizarea locației, decalajul în timp etc).
3. Conexiunile prin interfețele externe ca *Bluetooth*, *USB* etc.

Cum multe dintre aceste sarcini trebuie efectuate în paralel, procesorul *RISC* folosește un sistem de operare multitasking în timp real, capabil să furnizeze informații pentru transmisiile prin interfața radio conform structurii și coordonării în timp impusă de *GSM*.

Toate celelalte sarcini – ca manevrarea tastaturii, actualizarea ecranului și interfața grafică – au o prioritate redusă.

### Cartela *SIM*

Cartela *SIM* (Subscriber Identity Module) este un smartcard care stochează informații esențiale, cum ar fi *IMSI* (*International Mobile Subscriber Identity*), *MSI* – un număr unic asociat fiecărui abonat,  $K_i$  (cheia secretă folosită pentru autentificare) și alte informații despre utilizator. În general, informațiile sunt protejate printr-un număr personal de identificare (*PIN*).

De fapt, un card *SIM* este mai mult decât o simplă memorie; el conține un microcontroller care poate fi folosit pentru scopuri adiționale, cum ar fi generarea valorii *SRES* în procesul de autentificare (descriș ulterior). Este obligatoriu ca *SRES* să fie calculat în interiorul *SIM*-ului și nu în telefonul mobil, pentru a proteja cheia secretă  $K_i$ , care intervine de asemenea în procesul de autentificare.

Din punct de vedere logic, datele sunt stocate pe *SIM* în directoare și fișiere într-o manieră similară stocării pe hard-ul unui PC.

În specificația tehnică *3GPP* (*3GPP TS*), directorul *root* se numește fișierul principal (*MF*). Următoarele directoare se numesc *fișiere dedicate* (*DF*) iar fișierele normale se numesc *fișiere elementare* (*EF*). Datorită faptului că memoria unui *SIM* este extrem de limitată, fișierele nu pot fi identificate prin numele directorului și fișier. Sunt folosite numere hexazecimale care ocupă numai 2 octeți de memorie fiecare. Standardul asignează identificatori pentru aceste numere dar nu le stochează pe *SIM*.

**Exemplul 5.1.** *Directorul root este identificat, de exemplu, prin 0x3F00, directorul GSM prin 0x7F20, iar fișierul care conține IMSI, de pildă, este identificat prin 0x6F07.*

Pentru a citi IMSI-ul de pe cartela SIM, stația mobilă trebuie să deschidă fișierul având calea

0x3F00 0x7F20 0x6F07.

Fișierele de pe SIM sunt protejate prin diferite drepturi de acces. Cu aceste atribute, producătorul poate controla dacă un fișier este citit sau scris numai dacă este accesat de telefonul mobil.

#### 5.1.4 Subsistemul Stație de bază

Dacă funcționalitatea subsistemului rețea pentru GSM este în cea mai mare parte definită de soft-ul adițional, subsistemul *Stație de bază* este specific. Vechile generații de sisteme se bazează pe transmisii analogice prin interfață radio.

Subsistemul *Stație de bază* este responsabil pentru asigurarea traficului și a semnalului între stația mobilă și centrul de comutație a serviciilor mobile. El este compus din:

##### Banda de frecvențe

În sistemul GSM ea este formată din două sub-benzi:

1. 890 – 915 MHz: comunicarea de la Stația Mobilă la Stația de Bază (uplink);
2. 935 – 960 MHz: comunicarea de la Stația de Bază la Stația Mobilă (downlink).

Aceste sub-benzi (fiecare de câte 25 MHz) sunt împărțite în 124 perechi de frecvențe purtătoare, fiecare pereche având alocată o bandă de 200 kHz.

Fiecare frecvență purtătoare este utilizată pentru transportul a 8 canale telefonice distincte, multiplexate în timp (*TDMA*).

Deci numărul de căi telefonice este de  $8 \times 124 = 992$ .

Acest lucru este posibil deoarece datele și semnalele audio sunt codate și transmise digital. Transmisia se face în pachete în interiorul intervalului de timp alocat, cu o rată de 271 kbps.

Datorită cererii tot mai mari din țările europene, ulterior s-a adăugat un interval suplimentar de frecvențe pentru GSM, care folosește pentru uplink banda de frecvențe 1710 – 1785 MHz iar pentru downlink 1805 – 1880 Mhz. În locul lățimii de bandă de 25 MHz – normală frecvenței 900 MHz – frecvența 1800 Mhz oferă o lățime de bandă de 75 Mh, care permite încă 375 canale adiționale<sup>1</sup>.

GSM folosește diverse canale pentru transmiterea datelor. Acestea sunt împărțite în

---

<sup>1</sup>În America de Nord – datorită existenței rețelelor de telefonie mobilă analogică – la apariția GSM-ului, intervalele 900 MHz și 1800 MHz erau deja ocupate; de aceea s-au deschis frecvențe noi de bandă pe 1900 MHz și 850 MHz. Prin urmare, multe telefoane mobile GSM din SUA nu pot fi folosite în Europa și vice versa.

- Canale fizice (determinate de timesloturi),
- Canale logice: folosite pentru transmiterea datelor utilizatorului și a datelor de semnalizare.  
Dacă datele dintr-un canal logic sunt dedicate unui singur utilizator, atunci canalul este numit "canal dedicat". Dacă avem în vedere transmiterea de date pentru mai mulți utilizatori, canalul este numit "canal comun".

Canalele dedicate sunt clasificate în:

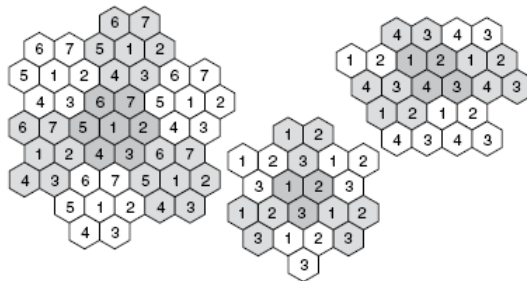
- *Canalul de trafic (TCh)*: canal pentru datele utilizatorilor. Poate fi folosit pentru transmisia de semnal vocal digital până la 14.4 kbps.
- *Canale asociate rapide de control (FACCh)*: ascund timeslot-uri din traficul alocat și sunt folosite pentru cereri neprogramate de control, cereri transmise ocazional (de exemplu handover-urile).
- *Canale asociate lente de control (SACCh)*: folosite în direcția uplink pentru a raporta măsurile de calitate a semnalului din celula deservită și din cele vecine. În sens invers, canalul este folosit pentru transmisia de comenzi de control de putere către stația mobilă.
- *Canale de control dedicate (DCh)*: canale multiplexate într-un canal de trafic standard. Sunt folosite pentru înregistrare, reactualizarea locației, autentificare și apelare.
- *Canal comun descendent (AGCh)*: utilizat pentru a transmite mobilului mesaje de alocare a unui canal dedicat.

Pe lângă canalele dedicate – asiguate unui singur utilizator – există și canale comune, dedicate tuturor utilizatorilor dintr-o celulă:

- *Canal de sincronizare (SCH)*: folosit de stațiile mobile în timpul căutării rețelei și a celulei.
- *Canale de control emis (BCh)*: canale logice necesare transmisiei periodice a informațiilor generale.
- *Canal de paging (PCh)*: canal logic care transportă mesajele de difuzare pe interfața radio; este folosit în principal pentru anunțarea mobilului despre apelurile primite.
- *Canal de acces aleator (RACH)*: canal de accesare a rețelei  $MS - BTS$ . Este folosit de  $MS$  pentru a cere alocarea unui canal dedicat.

### Base Transceiver Station (*BTS*)

Stațiile de bază sunt componentele cele mai vizibile din rețeaua *GSM*. Ele înlocuiesc conexiunile prin cablu din telefonie fixă prin conexiuni fără fir cu utilizatorul și reprezintă componenta cea mai răspândită din rețeaua de telefonie mobilă.



*Arhitectura celulară (celulele etichetate cu același număr folosesc aceeași frecvență)*

*BTS* conține echipamentul necesar transmiterii și primirii semnalului, antene și echipament pentru criptarea și decriptarea comunicațiilor cu *BSC* (*Base Station Controller*). De obicei, un *BSC* are sub control până la 100 *BTS*. Rețelele sunt structurate astfel ca să aibă mai multe *BSC* distribuite în regiuni apropiate de *BTS*-urile lor, conectate la grupuri centralizate de *MSC*.

Teoretic, o stație de bază (*BTS*) poate acoperi o suprafață cu raza de până la 35 km, numită "celulă". Deoarece un *BTS* poate servi simultan un număr limitat de utilizatori celulele sunt de fapt mult mai mici, în special în mediile urbane foarte dense. Aici, celulele acoperă arii de rază 3 – 4 km în zonele rezidențiale și coboară până la raze de numai 100 m în zonele comerciale foarte frecventate.

Chiar și în zonele rurale, aria de acoperire a unei celule este de obicei sub 15 km; puterea redusă de transmisie a stației mobile este – în acest caz – factorul limitator.

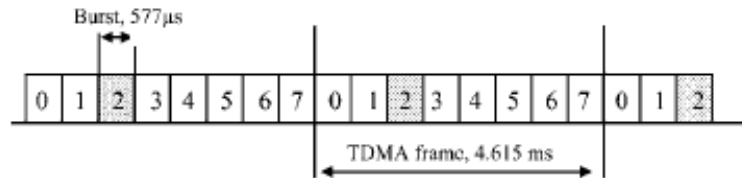
Având în vedere că emisiile stațiilor de bază diferite dintr-o rețea nu trebuie să interfereze, toate celulele învecinate trebuie să emită pe frecvențe diferite (vezi figura). Cum o celulă este înconjurată de multe altele, o stație de bază poate folosi doar un număr limitat de frecvențe diferite pentru a-și mări capacitatea.

### Interfața radio

Legătura între *BTS* și terminalul mobil este denumită *interfață radio* sau *interfață Um*. Există două metode care permit stației de bază să comunice simultan cu mai mulți utilizatori.

1. Acces multiplu prin diviziune în frecvență (*FDMA*): utilizatorii pot comunica cu stația de bază pe frecvențe diferite, fără a interfera unii cu alții.
2. Acces multiplu prin diviziune în timp (*TDMA* – Time Division Multiple Access). *GSM* folosește frecvențe cu lățimea de bandă de 200 kHz prin care 8 utilizatori pot

comunica simultan cu stația de bază. Utilizatorii sunt multiplexați în timp prin împărțirea în frame-uri cu durată de 4,615 ms. Fiecare frame conține 8 *timeslot*-uri independente, fiecare timeslot fiind folosit pentru comunicarea cu alt utilizator. Durata unui timeslot este de 0,577 ms și cuprinde 148 biți, cu o perioadă de gardă<sup>2</sup> de 8,25 biți între slot-uri.



Frame TDMA

Prin combinarea procedurilor *FDMA* și *TDMA* se poate calcula capacitatea totală a unei stații de bază.

### Controllerul Stației de bază (*BSC*)

În timp ce stația de bază este un element de interfață care conectează stația mobilă cu rețeaua, controlerul stației de bază (*Base Station Controller - BSC*) este responsabil de stabilirea, întreruperea și menținerea conexiunilor celulelor care sunt conectate la el.

Funcții îndeplinite de un *BSC*:

- Dacă un utilizator dorește să efectueze un apel vocal, să trimită un *SMS* etc, stația mobilă trimite un mesaj de cerere de canal către *BSC*, care verifică dacă există vreun canal *SDCCh* disponibil, și în caz afirmativ, îl activează. Apoi *BSC* trimite un mesaj de asignare stației mobile prin *AGCh*, care include și numărul canalului *SDCCh* asignat.
- Stabilește canalele de semnalizare pentru apelurile primite sau mesajele scurte.
- Menține conexiunea. Cum utilizatorii se pot plimba liberi în rețea în timpul unei convorbiri, se poate întâmpla ca ei să depășească acoperirea celulei în care a fost inițiat apelul. În acest caz *BSC* intervine, direcționând apelul către cea mai apropiată celulă.
- Pentru a reduce interferența, răspunde de controlul puterii de transmisie pentru fiecare conexiune prin interfața radio.

Pentru stația mobilă, un control activ al puterii poate reduce puterea de transmisie

<sup>2</sup>Perioada de gardă este o perioadă în care nu se transmite informație; deoarece distanța unui utilizator față de stația de bază se poate schimba, se evită astfel suprapunerea între semnale.



în condiții de recepție favorabile. Dacă puterea de transmisie a stației mobile trebuie să crească/scadă, *BSC* trimite un mesaj de control către *BTS*. În practică, controlul puterii și adaptarea se fac la fiecare 1 – 2 secunde. În timpul stabilirii apelului, stația mobilă folosește nivelul cel mai înalt admis de putere; acesta este apoi redus treptat de către rețea.

- Are în grijă controlul decalajului în timp. *TDMA* solicită ca semnalele de la toate mobilele care folosesc același canal (de paging) să atingă Stația de Bază la momente corecte de timp, fără să se suprapună.

**Exemplul 5.2.** *Dacă Stația de Bază furnizează un semnal de referință, mobilele aflate în apropierea sa vor răspunde mai devreme decât cele aflate la marginea ariei celulei.*

*GSM poate permite celulelor să se extindă până la 35 Km de Stația de Bază. Timpul luat de semnalul radio pentru a străbate 70 Km (până la perimetru și înapoi) este de 0,23 ms; astfel, pentru fiecare timeslot va fi oferită o perioadă de gardă de această lungime.*

*Cum acest interval este clar ineficient, GSM va informa de fiecare dată mobilul cu cât trebuie să-și avanseze transmisia astfel încât să se sincronizeze corect cu Stația de Bază.*

*Se ajunge în final la o perioadă de 0,03 ms adică 8,25 biți.*

### 5.1.5 Subsistemul rețea

Are ca principale responsabilități:

- Stabilirea apelului;
- Controlul apelului;
- Rutarea apelurilor între diferite centre de comutație fixe/mobile și alte rețele.

Componentele sale sunt:

#### Centrul de comutare a serviciilor

*Mobile Switching Center (MSC)* este elementul central al rețelei<sup>3</sup>, deoarece el controlează toate conexiunile între utilizatori.

Activitățile de administrație pentru stabilirea și menținerea unei conexiuni cuprind următoarele sarcini:

- Înregistrarea utilizatorilor: când stația mobilă este pornită, ea se înregistrează în rețea, devenind accesibilă tuturor utilizatorilor.
- Stabilirea apelului și rutarea acestuia între doi utilizatori.

---

<sup>3</sup>Este denumit și *Rețea de telefonie pe teritoriu public - PLMN* (Public Land Mobile Network).

- Transmiterea mesajelor scurte *SMS*.

Deoarece utilizatorii dispun de o mobilitate foarte mare în rețea, *MSC* este responsabil și de gestionarea următoarelor acțiuni:

- Autentificarea utilizatorilor în momentul stabilirii conexiunii.
- Dacă nu există nici o conexiune activă între rețea și stația mobilă, *MSC* trebuie să raporteze rețelei schimbarea locației mobilului, făcându-l astfel disponibil pentru apeluri primite și mesaje scurte.
- Dacă utilizatorul își schimbă locația în timpul stabilirii unei conexiuni cu rețeaua, *MSC* asigură continuitatea conexiunii și rutarea ei către următoarea celulă – procedură numită *handover*.
- Asigură partea de facturare a apelurilor. *MSC* reține informații cum ar fi numărul apelatului și numărul apelantului, *ID*-ul celulei din care a fost inițiat apelul, durata inițierii apelului, durata apelului etc, pe care apoi le transmite serverului de facturare.

### Registru de localizare a vizitatorilor

*Visitor Location Register (VLR)* reține informații despre fiecare utilizator care este servit la momentul curent de *MSC*; aceste informații sunt copii ale informațiilor originale stocate în *HLR*. Scopul principal al folosirii *VLR* este reducerea numărului de mesaje între *MSC* și *HLR*.

Când un utilizator ajunge în zona unui *MSC*, datele sunt copiate în *VLR*-ul aferent, fiind disponibile local pentru orice conexiune. Când acesta părăsește zona, informațiile respective sunt copiate din *HLR* în *VLR*-ul noului *MSC*, fiind șterse din *VLR*-ul anterior.

Deși este posibilă implementarea lui *VLR* ca o componentă hardware independentă, în majoritatea cazurilor el este o componentă software din *MSC*.

### Registrul de localizare (*HLR*)

*Home Location Register (HLR)* reprezintă baza de date cu utilizatori a rețelei *GSM*. El conține informații despre serviciile disponibile pentru fiecare utilizator în parte.

**Exemplul 5.3.** *IMSI-ul – care identifică un utilizator – este stocat atât pe SIM cât și în HLR; el reprezintă cheia către orice informație despre utilizator. Cum IMSI este unic la nivel internațional, utilizatorul poate folosi telefonul înafara țării sale de origine (desigur, dacă există un acord cu operatorul din țara sa). Atunci când telefonul este deschis, se recuperează IMSI de pe SIM și este transmis către MSC care – la rândul său – poate cere informații din HLR referitoare la utilizatorul respectiv.*

*Numărul de telefon al utilizatorului – numit și numărul ISDN al utilizatorului în standardul GSM – are o lungime de maxim 15 cifre; el conține codul țării, codul național destinație (corespunzător operatorului respectiv) iar restul cifrelor reprezintă numărul utilizatorului.*

### Centrul de autentificare (AC)

AC deține o cheie secretă  $K_i$  pentru fiecare utilizator, care este o copie a cheii  $K_i$  de pe cartela sa *SIM*. Pentru anumite operații din rețea (cum ar fi stabilirea unui apel), utilizatorul este identificat prin  $K_i$ .

În AC se află de asemenea cheile de autentificare și de criptare pentru toți utilizatorii din *HLR* și din *VLR*-urile aflate în rețeaua furnizorului. În particular, de aici sunt trimise triplete de tipul ( $RAND, SRES, K_c$ ) necesare pentru procesul de autentificare.

### Registrul de identificare a echipamentului (EIR)

*EIR* este o bază de date care stochează o listă cu toate echipamentele mobile valide în rețea, fiecare telefon fiind identificat prin *IMEI* (*International Mobile Equipment Identity*). Un *IMEI* este marcat ca fiind invalid dacă a fost declarat furat sau dacă tipul său este unul neaprobat.

*EIR* menține actualizate trei liste:

1. **Lista albă:** conține echipamentele mobile conforme cu cerințele impuse de operatorul de rețea.
2. **Lista neagră:** conține echipamentele mobile care au fost raportate ca furate sau cele care afectează bunul mers al rețelei; acestea nu au voie să acceseze rețeaua.
3. **Lista gri:** conține echipamentele mobile care nu sunt conforme standardelor; ele atent supravegheate, dar au voie să acceseze rețeaua.

## 5.2 Rutarea apelurilor în GSM

Utilizatorii telefoanelor mobile sunt – prin definiție – mereu în mișcare; de aceea mecanismele pe care le folosește rețeaua *GSM* pentru a-i localiza sunt foarte importante. Să detaliem modul de rutare al apelurilor către stația mobilă.

### 5.2.1 Înregistrarea locației

Actualizarea locației este cel mai important instrument care permite găsirea telefoanelor mobile în rețeaua *GSM*. Locația unei stații mobile este identificată în mod unic de *codul țării respective (mobile country code)(MCC)*, *codul rețelei mobile (MNC)* și *identitatea*

*locației* (*LAI*). *MCC*-ul este o valoare de trei cifre ce identifică țara în care este situată rețeaua. *MNC*-ul este o valoare de două cifre care identifică rețele (concurente) din aceeași țară. *LAI*-ul identifică regiunea fizică în care este localizată stația mobilă (o regiune constă dintr-una sau mai multe celule fizice). Aceste trei valori formează împreună *IMSI*-ul care identifică în mod unic un utilizator.

O rețea poate avea mai multe centre de comutare a serviciilor mobile (*MSC*) dar numai cele conectate la un ISDN sau PSTN sunt folosite ca gateway pentru centrele de comutare (*GMSC*) dintr-o rețea împreună cu un *HLR*. Apelurile sosite pentru telefoanele mobile pot fi rutate corect numai după ce este verificată (în *HLR*) locația mobilului țintă precum și serviciile autorizate ale acestuia. *GMSC* și *MSC* au fiecare propriul *VLR*. După ce s-a efectuat actualizarea locației, mesajul de la stația mobilă ce conține informația despre locația sa este trimis prin *MSC* la *VLR*-ul atașat. Acesta verifică dacă există deja o înregistrare cu acea stație mobilă, și îi actualizează locația – dacă aceasta este diferită de cea existentă. Dacă stația mobilă este necunoscută pentru *VLR*, atunci acesta va avertiza *HLR* despre locația stației mobile și despre informațiile de rutare, emițând anterior o cerere despre datele de bază ale utilizatorului, pe care *VLR* le va folosi pentru a finaliza inițierea apelului.

Există trei tipuri diferite de proceduri disponibile pentru actualizarea locației:

1. **Înregistrarea:** are loc atunci când este deschisă o stație mobilă. După câteva inițializări interne, ea va căuta rețele disponibile; când va găsi o astfel de rețea, stația mobilă va citi informații despre locație și va trimite *IMSI*-ul său rețelei respective.
2. **Actualizarea periodică a locației:** este efectuată după o perioadă de timp predefinită de rețea și este trimisă constant tuturor stațiilor mobile active care monitorizează canalul de control.  
Dacă stația mobilă nu se înregistrează în acest timp (de pildă, datorită faptului că utilizatorul a ajuns într-un spațiu cu semnal foarte slab), atunci rețeaua va presupune că stația mobilă nu mai este disponibilă și o va marca drept "inaccesibilă" în *HLR* și *VLR*. Ca urmare, apelurile primite vor fi blocate în *GMSC* în loc să fie rutate spre regiunea în care se află localizată. Apelul poate fi direcționat către alt număr – dacă utilizatorul a setat în prealabil această opțiune.
3. Când stația mobilă detectează o *schimbare a regiunii* în care se află, va anunța rețeaua despre această schimbare.

### 5.2.2 Stabilirea apelului în GSM

Apelurile în *GSM* sunt clasificate astfel:

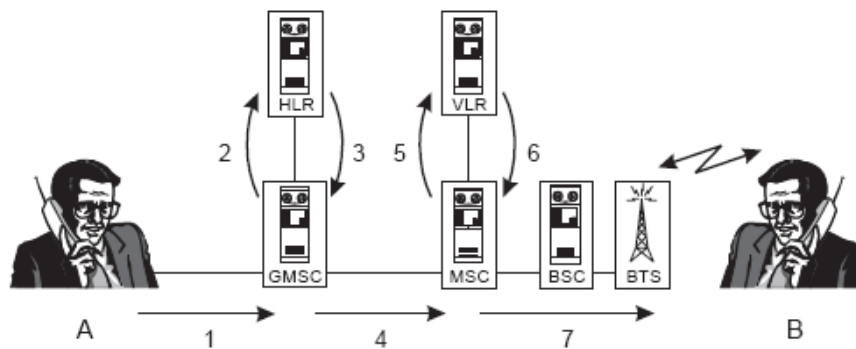
1. (În cazul în care apelul este inițiat de rețea) Rețeaua notifică telefonul cu un PAGING REQUEST prin *IMSI*-ul corespunzător pe canalul de paging.  
Dacă apelul este inițiat de telefonul mobil, se trece direct la pasul următor.
2. Procedura de alocare directă:
  - (a) Telefonul – trimite pe canalul *RACH* – un mesaj RANDOM REQUEST de 8 biți. El este format dintr-o valoare aleatoare pe 5 biți, iar restul de 3 biți conține "establishment cause" (tipul de apel care urmează a fi stabilit). Acest mesaj solicită stației de bază alocarea resurselor radio pentru realizarea conexiunii.
  - (b) Rețeaua trimite un mesaj IMMEDIATE REQUEST pe canalul *PAGCh*. Acesta conține valoarea aleatoare primită de la telefon, detalii despre canalul alocat telefonului mobil, împreună cu alte informații tehnice. Mobilul se va racorda imediat la canalul de trafic alocat.
3. Cererea de servicii:
  - (a) Mobilul trimite un mesaj de cerere a serviciilor, incluzând *TMSI*-ul său și versiunile de *A5* suportate
  - (b) Rețeaua certifică acest mesaj și repetă *TMSI*-ul.
4. Autentificarea:
  - (a) Rețeaua trimite o cerere de autentificare care include valoarea *RAND* și un număr care va stoca cheia  $K_c$  rezultată;
  - (b) Mobilul răspunde cu valoarea *SRES* calculată;
  - (c) Rețeaua cere mobilului – prin comanda *CIPHMOD* – să înceapă criptarea; ea poate specifica algoritmul de criptare folosit și – eventual – cheia de criptare. Rețeaua începe să decripteze informațiile primite. Mesajul poate fi folosit și pentru a cere mobilului să trimită *IMEI*-ul și versiunea de software.
  - (d) Mobilul începe criptarea și decriptarea și răspunde cu mesajul *CIPHMODCOM* criptat. La cerere, el trimite și *IMEI*-ul.
5. Rețeaua și mobilul "comunică" pe canal. Rețeaua poate să schimbe canalul în funcție de tipul apelului efectuat.

### 5.2.3 Rutarea apelului între două stații mobile

Când *Alice* inițiază un apel mobil către *Bob*, apelul va fi rutat către *GMSC*-ul rețelei. Dacă rețeaua are mai multe astfel de "porți de intrare", apelul este rutat către *GMSC*-ul de care aparține *Bob*, adică spre acel *GMSC* al cărui *HLR* atașat conține o înregistrare

cu datele lui *Bob*. *GMSC*-ul va afla locația utilizatorului *Bob* prin lansarea unei cereri de localizare, la care răspunde un *HLR*. Acesta va transmite către *GMSC* zona sau *MSC*-ul corespunzător lui *Bob*. Cu această informație, *GMSC*-ul poate ruta apelul către acel *MSC* care poate finaliza inițierea apelului. *MSC*-ul – fiind acoperit de mai multe *BSC* și *BTS* – va trebui să verifice locația exactă a lui *Bob* din *VLR* și va primi un răspuns conținând datele exacte.

Mai departe, *MSC* este capabil să trimită apelul spre *Bob*, folosind *BTS*-ul corect.



*Rutarea apelului între două stații mobile*

Dacă unul din utilizatori dorește încheierea apelului, stația mobilă va trimite spre rețea un mesaj de deconectare. După eliberarea canalului de trafic și după trimiterea unui mesaj de terminare către celelalte părți implicate, toate resursele din rețea sunt eliberate și apelul este încheiat.

## 5.3 Securitatea GSM

Conform cerințelor, un sistem *GSM* trebuie să fie cel puțin la fel de sigur ca *PSTN* (*Public Switched Telephone Network*) – rețeaua de telefonie publică bazată pe circuite de comutație.

### 5.3.1 Cerințe de securitate

Securitatea *GSM* trebuie să ia în considerare atât pe operatorul de rețea cât și pe client. Transmiterea informațiilor prin unde radio (wireless) implică existența unor riscuri potențiale care provin din interceptarea transmisiilor.

- Operatorii sistemului vor să se asigure că ei sunt cei care emit facturile către persoanele potrivite, să evite fraudele și să aibă siguranța serviciilor necompromise.
- Clienții doresc să li se asigure confidențialitatea convorbirilor.

Pentru asigurarea acestor cerințe, sistemul este proiectat astfel încât să ofere rețelei wireless aceeași siguranță pe care o are rețeaua fixă, siguranță care înseamnă autentificare și confidențialitate împotriva ascultărilor nedorite în rețea.

Specificațiile *GSM* identifică următoarele trei aspecte ale securității pe care le acoperă sistemul:

- **Autentificarea utilizatorilor:** telefonul mobil trebuie să-și dovedească dreptul de acces la un anumit cont din rețeaua operatorului dorit.
- **Anonimitatea utilizatorilor:** identificarea unui utilizator în rețea devine o problemă dificilă pentru cineva din afara sistemului.
- **Confidențialitatea:** informațiile comunicate wireless trebuie să fie protejate, iar accesarea lor să fie posibilă doar utilizatorilor destinați.

### 5.3.2 Anonimitatea

În momentul în care utilizatorul își deschide echipamentul mobil pentru a-l folosi în rețeaua operatorului contractat, el trebuie să se identifice în rețea.

Identificarea se face cu ajutorul numărului unic *IMSI* aflat pe *SIM*. Cum *IMSI* este elementul cheie în rutarea apelurilor, rețeaua trebuie să știe la orice moment unde se află telefonul identificat. Această funcționalitate a rețelei se numește ”gestionarea locației” (*location management*).

Cum *IMSI*-ul identifică în mod unic un utilizator al rețelei – iar această informație este publică – este suficient ca cineva să-l intercepteze în aer, pentru a identifica utilizatorul corespunzător și a-i afla locația.

Acest lucru este contracarat prin proprietatea de anonimitate, care protejează identitatea utilizatorului față de cineva care dispune de *IMSI*-ul său. Identitatea protejată în cadrul rețelei implică și ascunderea locației, precum și a apelurilor efectuate.

*GSM* asigură anonimitatea folosind un identificator temporar pentru client – *TMSI* (*Temporary Mobile Subscriber Identity*) care, spre deosebire de *IMSI* (unic la nivel global), este valid numai local și este asignat utilizatorului atunci când cartela *SIM* s-a autentificat în rețea. Pentru comunicarea cu acel *SIM*, rețeaua va folosi în continuare numai *TMSI*-ul alocat.

Atunci când este înregistrată o modificare a locației, rețeaua asignează un nou *TMSI* pentru stația mobilă, care este stocat în rețea împreună cu *IMSI*. Stația mobilă și rețeaua vor folosi de acum pentru comunicare numai *TMSI*-ul. La închidere, stația mobilă memorează *TMSI*-ul actual pe cartela *SIM*, pentru a fi accesibil atunci când este repornită.

Pe de altă parte, se poate vorbi – într-un schimb de informații între utilizatori – despre anonimitatea transmițătorului și a receptorului.

*Anonimitatea transmițătorului* se referă la ascunderea identității expeditorului unui mesaj,

iar *anonimitatea receptorului* oferă posibilitatea de a-l contacta pe destinatar chiar dacă acesta rămâne anonim.

**Exemplul 5.4.** În [?] este prezentat un mecanism care să permită utilizatorului unei stații GSM să efectueze/primească apeluri astfel încât furnizorul său de telefonie mobilă să nu poată determina identitatea celeilalte părți implicate în convorbire.

Pentru aceasta, autorii folosesc un *Trusted Third Party Privacy Proxy* iar soluția propusă implică folosirea de alias-uri (identificatori unici asociați abonaților) astfel încât rețeaua să nu poată face legătura între acestea și transmitătorul/receptorul real decât pentru scopuri de facturare.

În sistemul GSM există o serie de probleme legate de stabilirea anonimității:

- Un abonat trebuie să poată fi accesat oricând: rețeaua trebuie să îi știe mereu locația – pentru a putea ruta apelurile sosite către el. Chiar dacă receptorul nu cunoaște identitatea apelantului, rețeaua trebuie să cunoască informațiile ambelor părți, pentru a putea stabili și deschide canale de comunicare.
- Numărul de telefon al unei persoane – odată știut – poate fi considerat public: poate fi divulgat și altor persoane, chiar fără consimțământul proprietarului.
- Apelurile GSM trebuie să se desfășoare în timp real și sunt facturate în funcție de timp, de regulile stabilite în contract etc. Transmitătorul trebuie să fie legat de o anume entitate ce poate fi identificată, astfel ca după un anumit interval de timp (de obicei lunar), operațiunile efectuate de el în rețea să poată fi facturate.

### 5.3.3 Atacuri asupra anonimității utilizatorilor GSM

Atacurile asupra anonimității utilizatorilor GSM pot fi active sau pasive.

Atacatorul poate iniția un atac pasiv când doar ”ascultă” traficul, fără a efectua acțiuni; în schimb în monitorizarea activă, atacatorul se implică prin fabricarea și inserarea unor mesaje, distrugerea altora etc.

#### Monitorizare pasivă

Știm că la fiecare pornire a unei stații mobile se atașează un *IMSI*, pentru a informa rețeaua asupra faptului că *IMSI*-ul respectiv este activ din acel moment. Protocolul folosește procedura de actualizare a locației din care stația mobilă transmite un mesaj, împreună cu *IMSI*-ul său. Dacă acesta nu este înregistrat în rețea, atunci nu îi este asociată nici o cheie  $K_i$ , iar criptarea nu poate fi aplicată. Deci *IMSI* trebuie transmis în clar, iar un atacator care ascultă traficul, îl poate extrage.

Aceasta nu este singura situație când poate fi capturat *IMSI*-ul. Există cazuri (de exemplu o disfuncționalitate a bazei de date) când *HLR*-ul nu poate folosi *TMSI* pentru a obține anumiți parametri ai utilizatorului și prin urmare va cere în clar *IMSI*-ul.



### Monitorizare activă

În acest caz *Oscar* poate comunica cu stația mobilă, ceea ce presupune existența unui echipament mai sofisticat decât în cazul unei monitorizări pasive. El va folosi o procedură de identificare, în care rețeaua va efectua un **IDENTITY REQUEST**, cerând stației mobile, *IMSI*, *IMEI* sau *TMSI*.

Deoarece *GSM* nu verifică autenticitatea unui mesaj, *Oscar* poate pretinde că este stație de bază, obținând astfel – prin intermediul unui astfel de mesaj – informația dorită. După ce deține *IMSI*-ul, atacatorul își poate identifica victima.

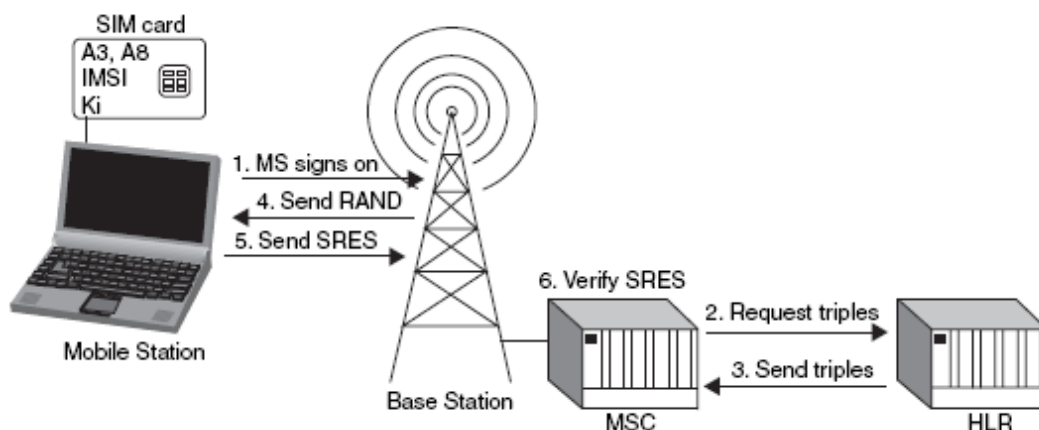
Următorul pas este găsirea *TMSI*-ului pe care rețeaua îl alocă stației mobile, astfel ca *Oscar* să-l poată asocia *IMSI*-ului; aceasta îi permite ulterior să urmărească mișcările stației mobile.

*TMSI*-ul este criptat înainte de a fi transmis, deci *Oscar* va trebui întâi să-l decripteze. El va genera o situație în care cele două entități legitime care comunică să creadă că dispun de capabilități diferite de criptare. *Oscar* poate face acest lucru deoarece poate insera, distruge sau fabrica mesaje după bunul plac – lucru posibil datorită faptului că *GSM* nu asigură integritatea mesajelor și nici autentificarea rețea-utilizator.

### 5.3.4 Autentificarea

Prin autentificare se evită situațiile când persoane neautorizate pătrund în rețea pretinzând că sunt utilizatori acceptați ai rețelei. Înainte de a avea acces la serviciile unei rețele *GSM*, un utilizator trebuie să își dovedească autenticitatea.

Vom descrie procedura de autentificare, reprezentată în figura următoare:



Procesul de autentificare în rețeaua GSM

1. La pornire, echipamentul mobil începe cu căutarea unei rețele wireless la care să se conecteze, scanând un anumit interval de frecvențe. În momentul când a găsit

frecvența dorită, *SIM*-ul încearcă să se autentifice, trimițând un mesaj la *BTS* prin care cere accesul la rețea.

2. *BTS*-ul comunică cu centrul de comutare pentru a decide permiterea accesului, care se face în urma unui protocol provocare - răspuns, bazat pe cheia secretă  $K_i$  partajată între telefon și rețea.
3. Centrul de comutare obține de la registrul de locații un triplet de forma

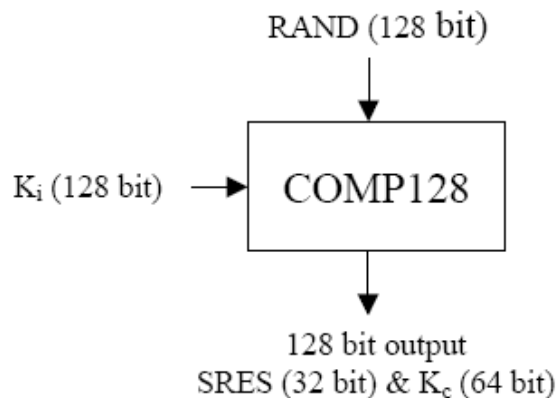
$$(RAND, SRES, K_c)$$

unde:

- (a)  $RAND$  este un număr aleator pe 128 biți,
  - (b)  $SRES$  este un răspuns pe 32 biți de la  $RAND$ , semnat și generat folosind cheia partajată  $K_i$ ,
  - (c)  $K_c$  este cheia de sesiune pentru criptare, generată tot cu ajutorul lui  $K_i$ .
4. După obținerea acestui triplet,  $RAND$  este trimis (via *BSC* și *BTS*) ca o provocare către stația mobilă.
  5. Ca răspuns la această provocare, cartela *SIM* a stației mobile va genera un  $SRES$  – folosind algoritmul *A3* și acel  $K_i$  păstrat stocat ( $SRES = A3(K_i, RAND)$ ).
  6. Apoi, cartela *SIM* trimite  $SRES$ -ul calculat către *MSC*, care îl compară cu  $SRES$ -ul conținut în tripletul primit de la *HLR*. Dacă cele două coincid, *MSC* deduce că echipamentul mobil deține un *SIM* cu un  $K_i$  valid și îi permite accesul în rețea; în caz contrar *MSC* va refuza accesul.

Există câteva aspecte importante de remarcat în procesul de autentificare:

- *A3* și *A8* nu sunt algoritmi în sine, ci – mai degrabă – etichete pentru algoritmi. Funcțional, ei sunt funcții one-way, ceea ce asigură imposibilitatea descoperirii cheii  $K_i$ . Furnizorii de telefonie mobilă sunt liberi să folosească orice algoritm doresc pentru a genera  $SRES$  din  $K_i$  și  $RAND$ . Specificația *GSM* folosește numele *A3* (*A8*) numai pentru a se referi la un astfel de algoritm. Cele mai multe implementări *GSM* combină *A3* cu *A8* și folosesc un singur algoritm pentru a servi ambele scopuri. Algoritmul *COMP128* este de referință, fiind specificat de *GSM* și folosit de majoritatea operatorilor. Acesta are la intrare cheia  $K_i$  și  $RAND$  și generează  $SRES$  pe 32 biți și un alt număr pe 54 de biți, cărui i se adaugă la sfârșit încă 10 biți egali cu 0, pentru a forma cheia de sesiune  $K_c$  pe 64 biți – folosită pentru asigurarea confidențialității.



*O implementare frecventă a lui A3/A8 (COMP128)*

- Cheia secretă  $K_i$ , identificatorul  $IMSI$ , funcțiile  $A3$  și  $A8$  sunt stocate și implementate în cartela  $SIM$  a telefonului;  $K_i$  nu părăsește niciodată cartela  $SIM$ .
- Este remarcabilă relația de încredere între componentele rețelei între care se transmit informațiile confidențiale (centrul de comutare - registrul de locații,  $BSC$  -  $MSC$ ). Această încredere evidențiază o caracteristică a rețelei  $GSM$ : încercarea de a securiza numai partea wireless. Motivul:  $GSM$  a evoluat din rețeaua de telefonie publică  $PSTN$  și își propune să fie cel puțin la fel de sigură. Partea centrală a  $PSTN$  este securizată prin restricționarea accesului fizic la rețea. Ideea a fost aplicată și în  $GSM$ , unde componenta centrală din arhitectura sistemului se referă la rețeaua ce se găsește dincolo de stația de baza ( $BSC$ ), considerată sigură – deoarece este controlată numai de furnizorii de telefonie mobilă, iar accesul la ea se află sub control foarte atent.  
Totuși, există o relație între componente înafara rețelei centrale:  $BTS$  -  $BSC$ . Ea rămâne o cale de atacuri posibile; de altfel,  $GSM$  nu specifică nici o metodă de securizare a acesteia.
- În  $GSM$ , entitatea autenticată este cartela  $SIM$  iar nu utilizatorul în sine. Ce se întâmplă dacă echipamentul ce se dorește a fi utilizat în rețea este unul furat? Atunci când un client a pierdut echipamentul sau cartela  $SIM$ , el are responsabilitatea de a comunica aceasta către furnizorul său de telefonie mobilă. Cum rețeaua menține o bază de date cu echipamentele valide – prin extrapolare – furnizorul de servicii ar putea avea și o bază cu  $SIM$ -urile valide.

Un detaliu mai ascuns al procesului de autentificare în  $GSM$  este folosirea a cinci triplete de securitate pe care  $MSC$  le obține de la  $HLR$ . Deși unul singur este necesar pentru autentificarea unui utilizator în rețea,  $MSC$  cere mai multe triplete pentru a evita repetarea acestei acțiuni de fiecare dată când utilizatorul dorește autentificarea, îmbunătățind astfel performanța sistemului prin deținerea în "stoc" a încă patru triplete de rezervă pentru o folosire ulterioară.

### 5.3.5 Atacuri asupra algoritmului de autentificare prin acces fizic la cartela SIM

Știm că fiecare operator de telefonie mobilă beneficiază de libertatea de a-și alege un design precis pentru algoritmi A3 și A8. Cel mai folosit este COMP128; deși nu a fost niciodată publicat oficial, el s-a aflat prin inginerie inversă de către M. Briceno, I. Goldberg și D. Wagner ([?]). Aceștia au efectuat și o criptanaliză asupra lui COMP128, găsind cheia  $K_i$  partajată între telefonul mobil și rețea. Având  $K_i$ , A3 și A8, clonarea cartelei GSM este simplu de realizat.

Securitatea întregului sistem GSM se bazează pe cheia secretă  $K_i$ . Odată ce intrusul Oscar este capabil să extragă cheia, el poate nu numai să asculte apelurile abonatului urmărit, dar se poate substitui acestuia în cadrul rețelei, efectuând apeluri în contul lui.

Rețeaua GSM are un sistem de securitate care poate determina și închide contul a două telefoane cu același ID folosite simultan în locații diferite. Dacă oscar este interesat numai să asculte convorbirile abonatului, el poate sta pasiv, fiind invizibil pentru rețeaua GSM.

Conform celor menționate mai sus, COMP128 este compromis. Oscar poate observa intrarea și ieșirea în cadrul algoritmului A8 și – pe baza lor – poate calcula  $K_i$  (intrarea este o provocare aleatoare trimisă din rețeaua abonatului iar ieșirea este un răspuns de la SRES-ul telefonului mobil). Un element care facilitează calcularea  $K_i$  este trimiterea provocării și a SRES în clar pe calea aerului.

Fisura în procesul de autentificare a fost descoperită în 1998 ([?]) de către un grup de cercetători ISAAC (Internet Security, Applications, Authentication and Cryptography) împreună cu Smartacrd Developer Association; s-a constatat că un atacator cu acces fizic la telefonul țintă poate face o clonă (duplicat identic cu originalul) și poate efectua astfel apeluri frauduloase în contul abonatului.

O condiție absolut necesară este accesul fizic la telefonul urmărit, ceea ce indică o fisură parțială și nu una totală.

Atacul efectuat asupra COMP128 este bazat pe provocări alese. Atacatorii au ales un număr de provocări speciale și au interogată SIM-ul pentru fiecare din ele. Acesta a aplicat algoritmul pentru fiecare provocare în parte, și a returnat un răspuns; analiza răspunsurilor primite – exploatând slaba difuzie (anumite părți ale funcției de dispersie depind numai de anumite părți ale intrării în algoritm) – a putut determina valoarea secretă a cheii.

Implementarea acestui atac folosește un cititor de smartcard-uri și un computer. Atacul presupune interogarea cardului de 150.000 de ori; cu un cititor de carduri capabil să efectueze aproximativ 6 invocări pe secundă, atacul durează 8 ore. Câteva calcule suplimentare sunt necesare pentru analiza răspunsurilor.

Aceasta este cea mai comună metodă de atac, și o măsură imediată împotriva ei ar fi folosirea pentru autentificare a unei funcții de dispersie criptografică mai puternice.

Versiunea *COMP128* a devenit *COMP128-1* și două versiuni noi – *COMP128-2* și *COMP128-3* – au fost propuse pentru corectarea acestor probleme de securitate. Aceste ultime versiuni sunt algoritmi care nu au fost supuși criptanalizei publice. *COMP128-3* rezolvă problema celor 10 biți nuli din cheia de sesiune  $K_c$ . Operatorii de telefonie mobilă migrează spre acești algoritmi noi, dar – deoarece *A3* și *A8* sunt stocați pe *SIM* – se impune schimbarea cartelelor abonaților. Interesant este faptul că, după ce în 1998 Briceno, Goldberg și Wagner au publicat atacul asupra *COMP128*, majoritatea furnizorilor de telefonie mobilă nu au adoptat noua variantă *COMP128-2*, ci au păstrat-o pe prima, aplicând o restricție asupra cartelei *SIM*: au fixat un număr maxim de invocări asupra cartelei (sub 150.000), după care aceasta se bloca.

Datorită faptului că algoritmul se află pe cartela *SIM* – care este un smartcard, orice descoperire asupra vulnerabilităților acestuia are repercusiuni asupra securității informațiilor stocate pe *SIM*: *IMSI* și  $K_i$ .

### 5.3.6 Atac prin partiționare

O metodă prin care cheia  $K_i$  poate fi extrasă fără a avea acces fizic la *SIM* este atacul printr-o metodă foarte eficientă, numită atac ”*side channel*”.

Atacurile *side channel* sunt atacuri criptanalitice care găsesc relația între informația de intrare și cea de ieșire transmisă în timpul calculelor din canalele anexe; de exemplu sincronizarea operațiilor, consumul de energie, emanații electromagnetice etc. S-a constatat că prin analiza acestor caracteristici se pot obține informații confidențiale. Foarte multe atacuri bazate pe canalele anexe necesită cunoștințe tehnice relativ la operațiile interne ale sistemului care are integrată partea de criptografie.

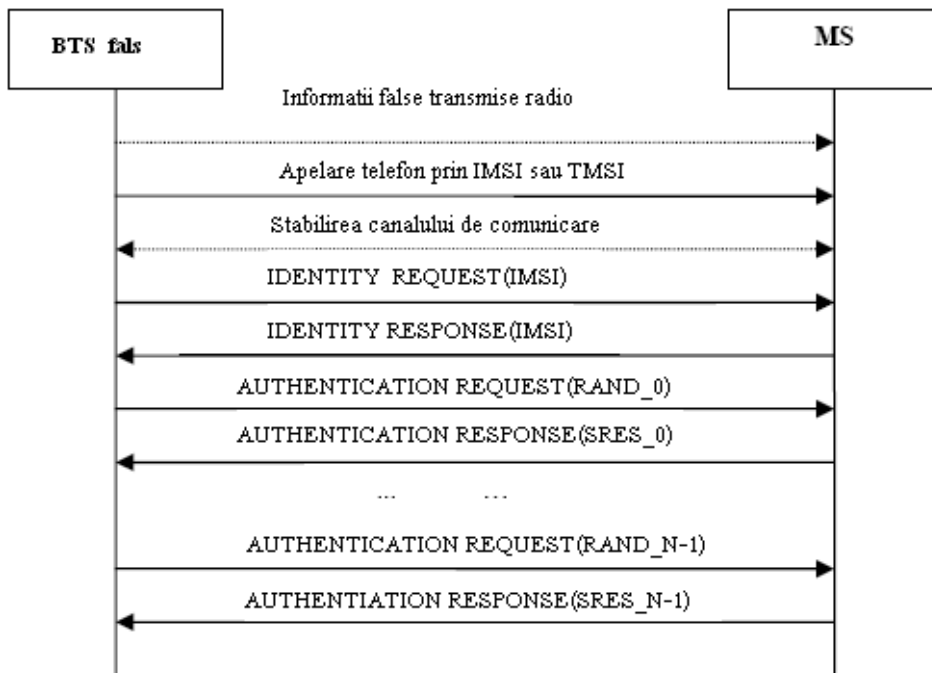
Un algoritm puternic împotriva acestui tip de atac trebuie să aibă semnalul pe canalele anexe independent statistic de intrare, ieșire și alte informații sensibile. O implementare adecvată poate asigura rezistență în fața unui astfel de atac, dar pot rămâne unele relații statistice dependente care pot fi atacate ușor. În general, eliminarea unor astfel de atacuri constă în limitarea producerii de informații de tipul emanațiilor electromagnetice sau sunet și limitarea accesului la relațiile între acestea.

”*Partitioning attacks*” este o clasă descoperită de cercetătorii de la *IBM* și folosită pentru a ataca implementări de algoritmi care altfel ar rezista la atacurile *side channel*. Cu ajutorul lor, toată cheia de 128 biți din *COMP128* poate fi extrasă de pe un *SIM* folosind mai puțin de 1000 invocări cu intrări aleatoare, sau 255 intrări alese, sau doar 8 intrări special alese. Prin urmare, un adversar care se afla în posesia cartelei *SIM* poate extrage cheia secretă  $K_i$  în maxim un minut.

Atacul prin partiționare poate fi folosit mai ales contra algoritmilor bazați pe căutări în tabele foarte mari. *COMP128* este un astfel de exemplu; el utilizează căutări în 5 tabele de câte 512, 256, 128, 64 și respectiv 32 biți.

### 5.3.7 Atacuri wireless asupra algoritmului de autentificare

Faptul că nu întotdeauna este posibil să avem acces fizic la *SIM* a creat posibilitatea unui atac wireless (pe calea undelor radio). Deși această abordare pare mai atractivă, ea introduce alt tip de obstacole. În primul rând, *Oscar* trebuie să poată simula *BTS*-ul ca unul legitim. Aceasta înseamnă că el are nevoie de o stație de bază falsă, capabilă să genereze un semnal suficient de puternic așa încât să depășească semnalul *BTS*-ului legitim. Numai în acest caz ar fi posibilă comunicarea între *BTS* și stația mobilă. O posibilă rezolvare a acestei probleme ar fi lansarea atacului atunci când semnalul stației legitime este foarte slab (la metrou, în lift, în zone izolate etc).



*Atac wireless asupra COMP128*

Pe lângă aceasta, *Oscar* mai trebuie să știe *IMSI*-ul sau *TMSI*-ul cartelei *SIM* pe care vrea să o cloneze. Când aceste resurse sunt disponibile, el va încerca să capteze stația mobilă. Aceasta va efectua imediat o cerere de actualizare a locației. Dacă pretinsa rețea a provocat telefonul mobil prin *TMSI*, *IMSI*-ul poate fi aflat ușor prin comanda *IDENTITY REQUEST*, la care telefonul trebuie să răspundă imediat.

În demersul pentru actualizarea locației, intrusul va iniția un proces de autentificare. Imediat după ce obține o pereche provocare - răspuns, el lansează o nouă procedură de autentificare. Stația mobilă trebuie să răspundă la fiecare provocare pe care o trimite rețeaua *GSM*. Procedura continuă până când *Oscar* va obține numărul de perechi necesare pentru a efectua clonarea.

Atacul funcționează pe orice telefon mobil din *GSM*, fără nici un acces anterior la acesta (și fără a cunoaște vreun *IMSI*). Prin monitorizarea traficului, poate fi ales un *TMSI* la întâmplare. Fiind un atac wireless, el se poate desfășura de la distanță.

Dacă *Oscar* obține cheia  $K_i$  (prin clonarea cartelei) și interceptează valoarea *RAND* prin wireless în timpul stabilirii apelului, el poate calcula cheia  $K_c$  (dacă este folosit algoritmul *COMP128* sau un alt algoritm cunoscut) și poate asculta convorbirea în timp real.

După apariția primelor atacuri, *GSM* a reacționat imediat și a creat alte două noi versiuni pentru *COMP128*. Dacă până atunci furnizorii foloseau în continuare *COMP128* – 1 limitând doar numărul de provocări, în urmă apariției atacului ce necesită doar 8 provocări, această restricție nu mai este posibilă: o cartelă *SIM* trebuie să răspundă la mai mult de 8 provocări pe parcursul unei zile.

Ultima versiune a lui *COMP128* – a patra – este complet nouă și se bazează pe un algoritm ce folosește standardul *AES*. Ea este implementată în rețelele *UMTS*, ceea ce presupune emiterea de noi cartele pentru abonații rețelei, o reactualizare a soft-ului *HLR* și securitate contra clonării cartelei *SIM*.

Și noul algoritm este pasibil de atacuri; chiar și "partitioning attacks". Căutarea în tabele mari este folosită frecvent în algoritmi precum *DES*, *AES* și *COMP128*, care – aplicate pe dispozitive limitate cum sunt smartcard-urile – rămân sensibile la atacuri side channel. Cercetătorii *IBM* au propus o metodologie pentru a crea rezistență în fața unor astfel de atacuri. Ideea constă în înlocuirea unei căutări într-o tabelă cu o serie de căutări în locații complet aleatoare folosind un tabel auxiliar, ceea ce nu permite nici o scurgere de informații. Metoda poate fi implementată cu succes în dispozitivele cu memorie limitată cum sunt telefoanele mobile, pentru că folosește foarte puțină memorie *RAM*.

## 5.4 Confidențialitate în GSM

Confidențialitatea în *GSM* înseamnă protejarea informației schimbate în timpul conversației și a informațiilor de control asociate cu stabilirea unui apel.

Contextul de securitate este cheia de sesiune  $K_c$  pe 64 biți, rezultată în urmă aplicării algoritmului *A8* sau *COMP128* – dacă acesta este folosit pentru a combina ambii algoritmi *A3* și *A8*. Această cheie oferă confidențialitate pe interfața wireless *BTS - ME*, deci securizează comunicarea între echipamentul mobil și stația de bază.

Reamintim că *GSM* folosește tehnica de diviziune în timp pentru a face posibilă folosirea aceluiași canal radio pentru 8 utilizatori simultan. Fiecare utilizator va transmite și primi informații numai pe durata unuia din cele 8 sloturi de timp disponibile în fiecare frame. Fiecare frame durează 4.6 milisecunde și este indentificat printr-un număr asociat. O conversație *GSM* folosește 2 frame-uri: unul mergând de la stația de bază spre stația mobilă și celălalt parcurgând aceeași cale în sens invers. Fiecare din aceste frame-uri conține 114 biți de informație.

Deci la fiecare 4.6 milisecunde, stația mobilă primește 114 biți de informație de la stația de bază și trimite alți 114 biți de informație către aceasta. Acești 228 biți au nevoie de protecție împotriva interceptării.

Algoritmul folosit pentru criptarea pachetelor de informații transmise wireless este A5. Acesta este un algoritm de criptare specificat de standardul *GSM* (spre deosebire de A3 și A8 care sunt doar niște nume) pentru a încuraja roaming-ul<sup>4</sup> între rețelele de telefonie oferite de diverși operatori. Alegerea lui A3 și A8 este la libera alegere a operatorului, datorită faptului că procesul de autentificare se desfășoară între *SIM* și registrul de locații al utilizatorilor (*HLR*) aferent furnizorului de telefonie mobilă. Pe de altă parte, procesul de criptare trebuie să se desfășoare între stația de bază (*BTS*) și stația mobilă (*ME*) (aceasta fiind prima rută pe care circulă pachetul de date ce conține informațiile trimise de utilizator); deci informația trimisă trebuie să fie deja criptată.

Algoritmul A5 este un sistem de criptare fluid ([?]) care generează o cheie unică pentru fiecare pachet de date folosind la intrare cheia de sesiune  $K_c$  pe 64 biți și numărul de secvență asociat frame-ului respectiv. Deoarece numărul de secvență al unui frame este ușor de aflat, confidențialitatea datelor transmise se bazează numai pe menținerea secretului cheii de sesiune  $K_c$ .

Cheia de sesiune poate fi schimbată la intervale regulate sau după cum considera furnizorul de servicii de telefonie.

După ce a fost obținută cheia de sesiune, criptarea va începe imediat ce rețeaua *GSM* trimite echipamentului mobil o cerere de criptare. Spre deosebire de A3 și A8 care sunt implementați în *SIM*, algoritmul A5 se află implementat hardware – direct în echipamentul mobil.

În prezent există trei versiuni dezvoltate pentru A5:

1. Prima, numită A5/1, este folosită în țările membre ale *CEPT* (organizație care cuprinde 48 țări din Europa) și în Statele Unite. A fost lansată în 1987 și oferă cel mai înalt nivel de criptare wireless. Deși oficial folosește 64 biți, practic cheia nu depășește 54 biți, ultimii 10 biți fiind setați pe zero.
2. Al doilea algoritm, A5/2, dezvoltat în 1989, este mai slab decât A5/1 și este folosit preponderent în Asia. Schița celor doi algoritmi a fost ținută secret, dar a fost descoperită prin inginerie inversă de către Briceno ([?]) în 1999 și este disponibilă pe Internet.
3. În 2002 apare versiunea A5/3. Ca securitate, el este mai puternic decât primele două versiuni, dar este folosit numai în rețelele *UMTS* pentru generația a treia (3G). Spre deosebire de versiunile precedente, schema lui A5/3 a fost făcută publică, construcția lui fiind bazată pe sistemul de criptare bloc KASUMI.

---

<sup>4</sup>Prin *roaming* se înțelege extinderea conectivității serviciilor în locații diferite de locațiile de bază în care acestea au fost înregistrate.



Înafara acestora mai există o versiune ieftină – și deci mai puțin complexă – numită  $A5/0$ , care nu presupune nici o criptare.

### 5.4.1 Algoritmul $A5/1$

Algoritmul fluid  $A5/1$  acceptă la intrare o cheie de sesiune  $K_c$  pe 64 biți și numărul de frame  $f$  pe 22 de biți care este public (fiecare frame are asociat un număr de frame, frame-urile consecutive având asociate numere consecutive).

După cum am văzut, comunicarea în  $GSM$  se realizează prin *frame*-uri, unde un frame este transmis la fiecare 4.6 milisecunde. În fiecare frame,  $A5/1$  este inițializat cu cheia de sesiune și cu numărul de frame. Cheia fluidă obținută la ieșire ocupă 228 biți și este împărțită în două jumătăți: prima parte (114 biți) este folosită pentru criptarea datelor transmise de la rețea către telefonul mobil, iar a doua jumătate este folosită pentru criptarea datelor de la telefonul mobil către rețea.

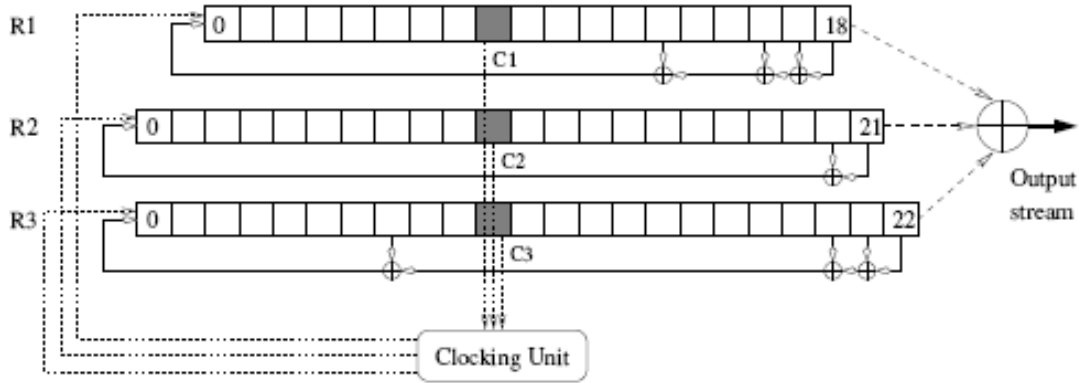
Criptarea este realizată prin aplicarea operației  $XOR$  asupra datelor transmise și a jumătății corespunzătoare din cheia fluidă generată.

Trebuie menționat că stația de bază aplică același algoritm  $A5/1$ ; deci fiecare din cele două părți care comunică va folosi prima jumătate din cheia generată pentru a cripta datele pe care le transmite, iar a doua jumătate – pentru a decripta (decriptarea se face similar cu criptarea, prin aplicarea operației  $XOR$ ) datele primite.

$A5/1$  are o stare internă pe 64 biți și este construit din trei circuite  $LFSR$  ([?]) de lungime 19, 22 și respectiv 23 biți fiecare, notate  $R1$ ,  $R2$  și  $R3$ . La fiecare tact (*clocking*) fiecare registru calculează funcția de întoarcere, după care este deplasat la dreapta cu o poziție (cel mai din dreapta bit devine bit de ieșire) iar feedback-ul calculat este stocat în cea mai din stânga poziție din registru.

$A5/1$  este inițializat cu  $K_c$  și  $f$  în trei pași ( $K_c[i]$  reprezintă al  $i$ -lea bit din  $K_c$ , iar  $f[i]$  – al  $i$ -lea bit din  $f$ ):

1. Setează  $R1 = R2 = R3 = 0$ .
2. For  $i = 0$  to 63 do
  - (a) Aplică un tact pentru toți regiștrii
  - (b)  $R1[0] \leftarrow R1[0] \oplus K_c[i]$ ;  $R2[0] \leftarrow R2[0] \oplus K_c[i]$ ;  $R3[0] \leftarrow R3[0] \oplus K_c[i]$ .
3. For  $i = 0$  to 21 do
  - (a) Aplică un tact pentru toți regiștrii
  - (b)  $R1[0] \leftarrow R1[0] \oplus f[i]$ ;  $R2[0] \leftarrow R2[0] \oplus f[i]$ ;  $R3[0] \leftarrow R3[0] \oplus f[i]$ .



*Structura internă a algoritmului A5/1*

Generarea cheii fluide se efectuează în 328 tacti, la fiecare tact producându-se un bit de ieșire. La fiecare tact, ieșirea este un  $XOR$  între cei mai din dreapta biți ai celor trei registre. Cheia fluidă de 228 biți este generată astfel:

1. Execută inițializarea cu cheia  $K_c$  și numărul de frame  $f$ .
2. Execută A5/1 pentru 100 tacti, fără a păstra ieșirea.
3. Execută A5/1 pentru 228 tacti, biții rezultați formând cheia fluidă.

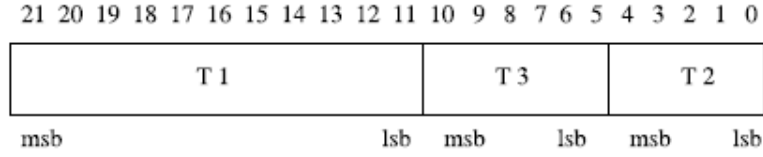
Mecanismul de calcul a bitului de ieșire la fiecare tact folosește regula majorității: fiecare registru are o poziție – aproape de mijloc (locațiile  $R1[8]$ ,  $R2[10]$  și respectiv  $R3[10]$ ) – marcată special. La fiecare tact se calculează valoarea majoritară din aceste trei poziții, iar apoi, fiecare registru avansează o poziție dacă și numai dacă celula sa marcată (un  $D$  flip-flop) este identică cu valoarea majoritară calculată.

Deci, la fiecare tact se vor deplasa cel puțin doi registre; statistic, fiecare registru are probabilitatea  $1/4$  de a rămâne nemișcat și probabilitatea  $3/4$  de a se deplasa ([?]).

### 5.4.2 Algoritmul A5/2

A5/2 este construit pornind de la arhitectura lui A5/1: se folosesc patru registre (de lungimi 19, 22, 23 și 17 biți), iar funcțiile de întoarcere ale primilor trei sunt identice ca pentru A5/1.

Algoritmul acceptă la intrare aceiași parametri ca și A5/1: o cheie  $K_c$  pe 64 biți și o valoare publică  $f$  pe 22 biți, derivată din numărul de frame (cunoscut public). Valoarea lui  $f$  este obținută din numărul asociat frame-ului  $TDMA$ :

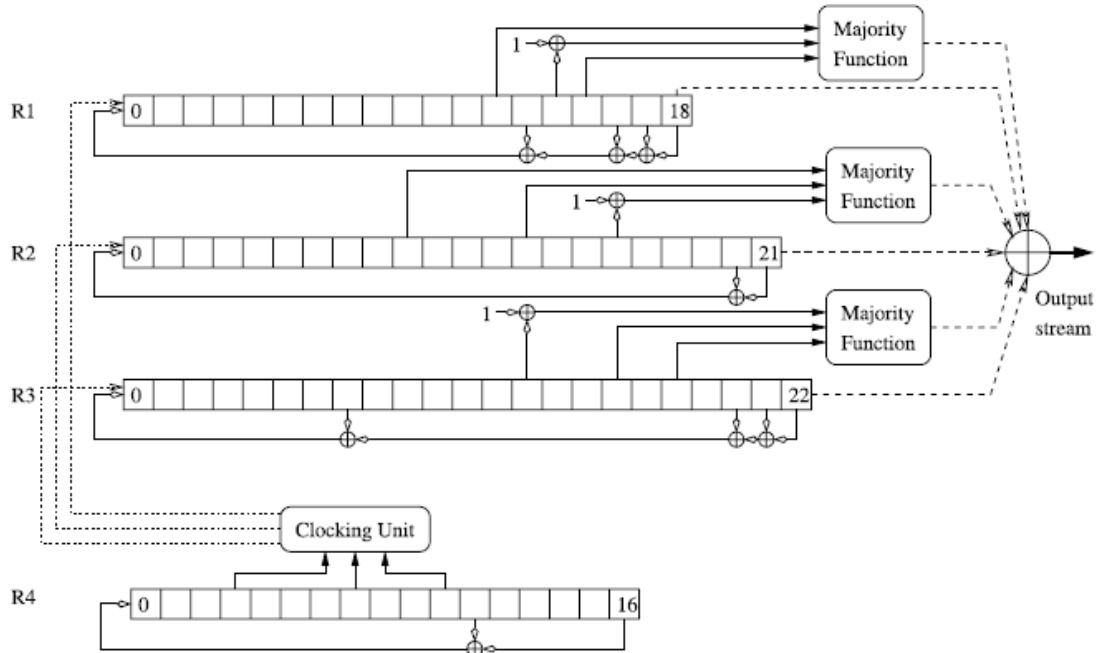


*Obținerea valorii  $f$*

unde  $T1$  este câtul împărțirii numărului de frame la  $51 \times 26 = 1326$ ,  $T2$  este restul împărțirii numărului de frame la 26 și  $T3$  este restul împărțirii numărului de frame la 51.

$A5/2$  este inițializat cu  $K_c$  și  $f$  în patru pași după cum urmează:

1. Setează  $R1 = R2 = R3 = R4 = 0$ .
2. For  $i = 0$  to 63 do
  - (a) Aplică un tact pentru cei patru regiștri.
  - (b)  $R1[0] \leftarrow R1[0] \oplus K_c[i]$ ;    $R2[0] \leftarrow R2[0] \oplus K_c[i]$ ;  
 $R3[0] \leftarrow R3[0] \oplus K_c[i]$ ;    $R4[0] \leftarrow R4[0] \oplus K_c[i]$ .
3. For  $i = 0$  to 21 do
  - (a) Aplică un tact pentru primii trei regiștri.
  - (b)  $R1[0] \leftarrow R1[0] \oplus f[i]$ ;    $R2[0] \leftarrow R2[0] \oplus f[i]$ ;  
 $R3[0] \leftarrow R3[0] \oplus f[i]$ ;    $R4[0] \leftarrow R4[0] \oplus f[i]$ .
4. Setează bitii  $R1[15] \leftarrow 1$ ,    $R2[16] \leftarrow 1$ ,    $R3[18] \leftarrow 1$ ,    $R4[10] \leftarrow 1$ .



Și în acest algoritm, la fiecare tact avansează cel puțin doi regiștri, în funcție de valorile a trei biți din  $R4$ . Apoi avansează  $R4$  un tact.

La începutul fiecărui tact se calculează valoarea

$$x = maj\{R4[3], R4[7], R4[10]\}$$

Apoi,  $R1$  avansează dacă  $x = R4[10]$ ,  $R2$  avansează dacă  $x = R4[3]$  și  $R3$  avansează dacă  $x = R4[7]$ .

Procesul de generare a cheii poate fi sumarizat astfel:

1. Execută inițializarea cu cheia  $K_c$  și valoarea  $f$ .
2. Execută  $A5/2$  pentru 99 tacti, ignorând ieșirea.
3. Execută  $A5/2$  pentru 228 tacti, iar biții rezultați formează cheia fluidă.

Procedura de criptare este identică cu cea a algoritmului  $A5/1$ .

### 5.4.3 Probleme legate de confidențialitatea GSM

De-a lungul timpului s-au descoperit o serie de slăbiciuni ale arhitecturii de criptare a sistemului *GSM*, slăbiciuni care pot fi exploatare ușor.

- Partea de criptare a fost specificată ca o caracteristică opțională a rețelei. Prin urmare, operatorul de rețea poate alege dacă dorește folosirea criptării sau nu. Unele telefoane mobile cum sunt cele din seria *Siemens S* afișează pe ecran un simbol de tipul *!\** dacă opțiunea de criptare este dezactivată ([?]).
- Criptarea este utilizată numai pentru securizarea interfeței dintre stația mobilă și *BTS*. Aceasta este singura legătură protejată criptografic, ceea ce expune restul rețelei la atacuri. Una dintre cele mai expuse interfețe neprotejată prin criptare este *BTS - BSC*. Cum această legătură nu face parte din rețeaua "de bază" și cum de obicei este o legătură fără fir (bazată pe microunde, pe satelit ș.a.m.d.), ea devine o țintă atrăgătoare, interceptarea de apeluri fiind posibilă cu un echipament adecvat.
- Chiar și algoritmul folosit pentru criptarea legăturii stație mobilă - *BTS* nu este sigur, datorită puterii tot mai mare a hardware-ului. Folosind un simplu atac prin forță brută, securitatea algoritmului poate fi compromisă în câteva ore. Principala problemă este lungimea mică a cheii de sesiune  $K_c$ : doar 54 biți efectiv (plus alți 10 biți setați pe zero). Puterea hardware permite în prezent înregistrarea pachetelor transmise între stația mobilă și *BTS* și decriptarea lor la un moment ulterior.

- *GSM* folosește o procedură de autentificare într-un singur sens: numai rețeaua are dreptul să verifice identitatea abonatului (mai exact, a stației mobile). În schimb, stația mobilă nu poate verifica autenticitatea rețelei. Aceasta permite punerea în practică a unui atac în care *BTS* este falsificat.
- Poate una dintre cele mai vizibile vulnerabilități ale sistemului *GSM* este faptul că nu asigură protecția integrității pentru informațiile transmise. Securitatea *GSM* vorbește despre autentificare și confidențialitate dar nu menționează absolut nimic despre integritate. Absența unui mecanism care să o asigure înseamnă că la recepție nu se poate verifica dacă mesajul primit a fost modificat sau nu. Se lasă astfel cale liberă pentru numeroase atacuri de tipul man-in-the-middle.

Algoritmii de criptare *GSM* nu sunt publicați în standardul *GSM*, ceea ce înseamnă că nu sunt disponibili pentru analiza comunității de securitate. Acest lucru a fost criticat pentru că încalcă principiul lui Kerckhoffs (securitatea sistemului rezidă numai în cheie). Se consideră indicat ca algoritmul de criptare să fie analizat public, așa încât eventualele fisuri existente să fie descoperite și publicate.

## 5.5 Atacuri active asupra rețelelor *GSM*

Să trecem în revistă câteva atacuri bazate pe faliile de securitate existente în protocolul de stabilire a apelului (prezentat în prima parte a capitolului); sunt atacuri active, deci este necesar ca *Oscar* să transmită (cu asumarea riscului de a fi detectat).

Faliile din protocol care pot fi exploatare sunt următoarele:

1. Autentificarea poate fi executată numai între mobil și rețea, la începutul apelului, fiind numai la dispoziția rețelei. Stația mobilă nu poate solicita autentificarea. Dacă nu este efectuată nici o autentificare,  $K_c$  rămâne cel din conversația anterioară; în acest caz, rețeaua poate "autentifica" telefonul prin faptul că folosește același  $K_c$  pentru criptare.
2. Rețeaua alege algoritmul de criptare (sau poate alege să nu crijteze deloc). Telefonul doar raportează lista de algoritmi de criptare pe care îi suportă (printr-un mesaj numit *class-mark*).
3. Mesajul *class-mark* nu este protejat și poate fi modificat de *Oscar*.
4. Faptul că doar telefonul se autentifică la rețea permite existența stațiilor de bază false.
5. Nu există o separare a cheilor: protocolul de stabilire a cheii este independent de algoritmul folosit – cheia  $K_c$  depinde numai de *RAND* (ales de rețea), indiferent dacă pentru criptare se folosește  $A5/1$ ,  $A5/2$  sau  $A5/3$ .

6. Aceeași valoare *RAND* poate fi folosită ori de câte ori dorește rețeaua.

### 5.5.1 Atacul de tip class-mark

În cel mai simplu atac asupra protocolului, *Oscar* schimbă informația din mesajul class-mark pe care telefonul îl trimite rețelei la începutul conversației; astfel, rețeaua crede că telefonul suportă numai *A5/2*. Deși poate rețeaua preferă să lucreze cu *A5/1*, ea trebuie să folosească numai *A5/2* sau *A5/0* (fără criptare).

Intrusul are mai multe moduri de a modifica mesajul class-mark. El poate trimite – simultan cu utilizatorul – un mesaj alternativ class-mark, folosind însă un semnal radio mult mai puternic; astfel, la *BTS* semnalul lui *Oscar* depășește semnalul mesajului original.

Sau, *Oscar* poate efectua un atac de tipul man-in-the-middle (se interpune între stația mobilă și *BTS* folosind o stație mobilă falsă și o stație de bază falsă), așa încât toate mesajele să treacă pe la el. Apoi poate pur și simplu înlocui un mesaj class-mark cu un alt mesaj.

### 5.5.2 Recuperarea cheii $K_c$ dintr-o conversație anterioară

Este un atac care recuperează cheia de criptare a unei conversații criptate înregistrată în trecut. Ea ar putea fi validă pentru convorbiri ulterioare dacă rețeaua alege să nu efectueze protocolul de stabilire a unei noi chei.

Calea cea mai simplă de a decripta conversații înregistrate este când *Oscar* are acces la cardul *SIM* al utilizatorului. Atunci el îl poate alimenta cu *RAND*-ul folosit anterior în conversație. *SIM*-ul calculează și întoarce spre intrus valoarea lui  $K_c$  (atacul este posibil pentru că *GSM* permite re folosirea valorii *RAND*).

Singura problemă este obținerea accesului fizic la cardul *SIM* al utilizatorului. Există un atac man-in-the-middle care simulează un astfel de acces, prin folosirea unei stații de bază false.

1. În faza de pregătire a atacului, *Oscar* înregistrează conversații criptate ale victimei.
2. La momentul atacului, el inițiază o sesiune wireless cu telefonul victimei, prin stația de bază falsă, iar apoi o procedură de autentificare, folosind valoarea *RAND* din timpul conversației criptate. Telefonul va returna un *SRES* cu aceeași valoare ca *SRES*-ul conversației înregistrate.
3. *Oscar* cere telefonului să înceapă criptarea cu *A5/2*. Aparatul trimite o certificare (criptată cu *A5/2*) cu același  $K_c$  din conversația înregistrată ( $K_c$  depinde de *RAND*, care este identic cu cel din conversația înregistrată).

4. În final, intrusul poate folosi un atac cu text criptat pentru  $A5/2$  (un astfel de atac este prezentat mai târziu), care poate fi repetat de mai multe ori pentru toate valorile  $RAND$  existente în înregistrare.

Atacul prezentat lasă urme, pentru că telefonul reține ultimul  $K_c$  pentru a-l folosi în următoarea conversație.

*Oscar* poate aduce telefonul la starea anterioară atacului, prin efectuarea unei noi proceduri de autentificare folosind ultima valoare (legitimă)  $RAND$  emisă telefonului. Sau, *Oscar* poate recupera valoarea curentă  $K_c$  stocată pe telefon prin efectuarea atacului, dar omițând procedura de autentificare.

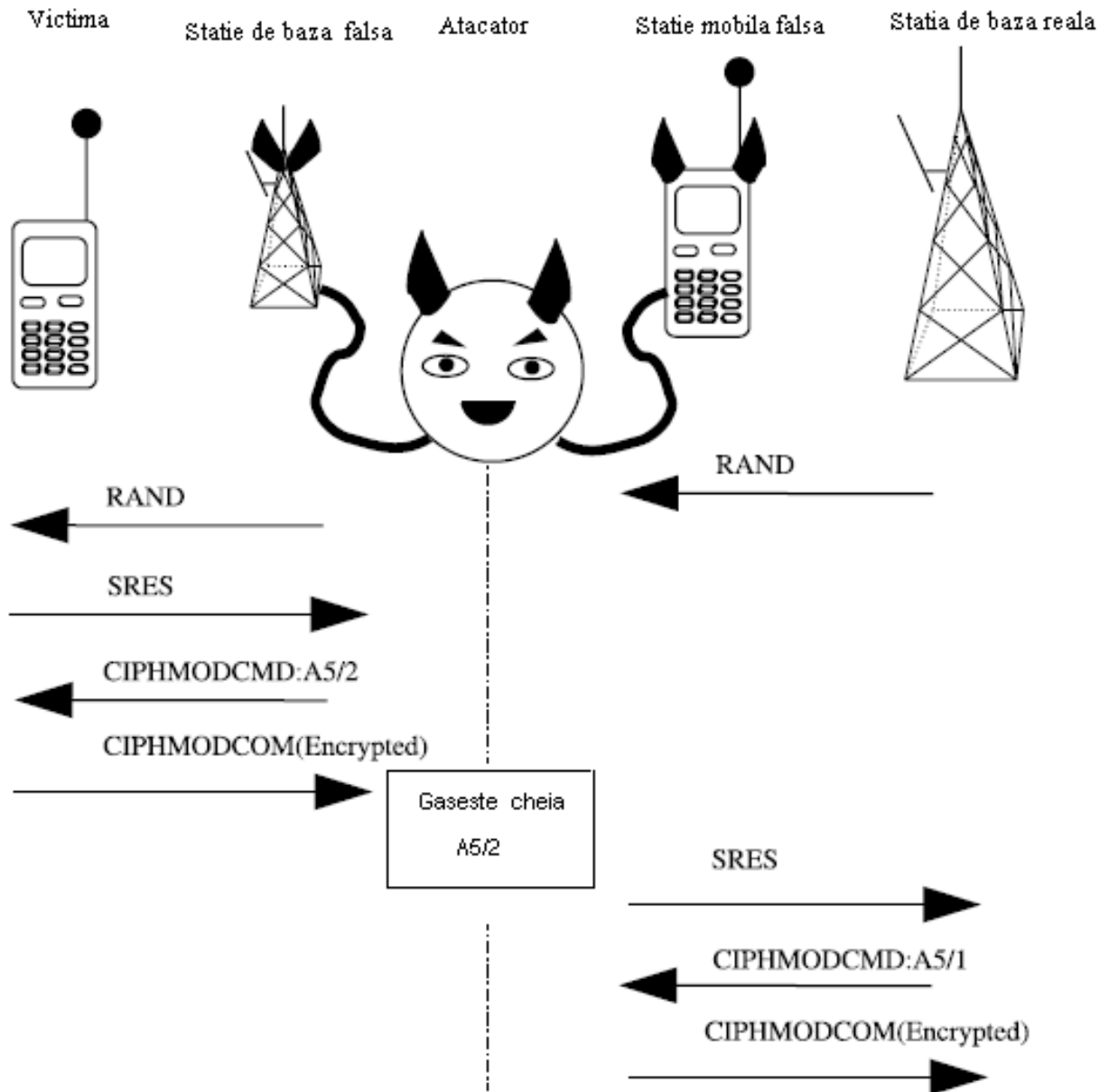
El poate folosi cheia  $K_c$  pentru a pătrunde în conversații ulterioare, până când rețeaua inițiază o nouă procedură de autentificare.

### 5.5.3 Atac de tipul man-in-the-middle

*Oscar* poate intercepta conversațiile în timp real prin lansarea unui atac man-in-the-middle.

Pentru aceasta, el folosește o stație de bază falsă pentru a comunica cu telefonul țintă, pretinzând rețelei că este stația mobilă .

1. Când rețeaua inițiază protocolul de autentificare, ea trimite lui *Oscar* o cerere de autentificare, pe care acesta – sub chipul stației de bază – o trimite mai departe utilizatorului.
2. Utilizatorul calculează  $SRES$  pe care îl returnează lui *Oscar*, care îl va reține temporar, fără a-l retrimite rețelei.
3. *Oscar* cere telefonului să înceapă criptarea folosind  $A5/2$ . Această cerere pare legitimă telefonului, întrucât intrusul joacă rolul rețelei. Telefonul începe criptarea folosind  $A5/2$  și trimite o certificare (acknowledgment numit *CIPHMODCOM* - *Cipher Mode Complete*, care confirmă că a început criptarea) criptată.
4. *Oscar* folosește atacul cu text criptat din secțiunea ?? pentru a găsi  $K_c$  (în mai puțin de o secundă).
5. Abia acum *Oscar* trimite valoarea  $SRES$  spre rețeaua reală.
6. Acum *Oscar* este "autentificat" în rețea, care îi cere să înceapă criptarea folosind  $A5/1$ . Intrusul cunoaște deja cheia  $K_c$  și poate trimite răspunsul criptat cu  $A5/1$ .



*Atac man-in-the-middle pentru A5/2*

Din acest moment, rețeaua îl vede pe *Oscar* ca stație mobilă, iar *Oscar* poate continua conversația, sau o poate încredința telefonului.



## 5.6 Criptanaliza algoritmului A5/2

### 5.6.1 Primul atac cu text clar cunoscut

Prima criptanaliză a algoritmului A5/2 a fost realizată în august 1999 de cercetătorii americani Goldberg, Wagner și Green, fiind un atac cu text clar cunoscut. Atacul necesită două frame-uri de text criptat, al căror text clar corespunzător are o diferență XOR cunoscută.

**Observația 5.1.** *Datorită faptului că  $R4[10]$  este setat pe valoarea 1 în timpul inițializării,  $R4$  va avea aceeași valoare după inițializare indiferent dacă bitul  $f[10]$  este zero sau unu.*

Inițial, *Oscar* încearcă să găsească două frame-uri diferite care au aceeași valoare  $f$  până la  $f[10]$ . După etapa de inițializare, cele două frame-uri vor avea aceeași valoare pentru  $R4$ . Având în vedere construcția lui  $f$  din numărul de frame, practic se caută două frame-uri aflate la distanța  $26 \times 51 = 1326$  frame-uri TDMA (aproximativ 6 secunde) de primul frame cu  $f[10] = 0$ .

Altfel, intrusul trebuie să mai aștepte 6 secunde pentru un frame cu  $f[10] = 0$ .

Prin urmare, *Oscar* este obligat să aștepte între 6 și 12 secunde pentru a obține datele necesare pentru atac.

Atacul se desfășoară astfel:

1. Fie  $f_1$  și  $f_2$  valorile  $f$  pentru cele două frame-uri iar  $k_1$  și  $k_2$  cheile fluide corespunzătoare. Notăm valoarea regiștrilor  $R1 \dots R4$  din primul frame, imediat după inițializare cu  $R1_1 \dots R4_1$  și similar, în al doilea frame  $R1_2 \dots R4_2$ .

Alegerea lui  $f_1$  și  $f_2$  conform observațiilor de mai sus asigură  $R4_1 = R4_2$ . Ceilalți regiștri nu sunt egali, dar datorită liniarității în biții lui  $f_1$  și  $f_2$  a procesului de inițializare, diferența dintre  $R1_1, R2_1, R3_1$  și  $R1_2, R2_2, R3_2$  este liniară în diferența dintre  $f_1$  și  $f_2$ .

Deci, se poate scrie  $R1_1 = R1_2 \oplus d_1$ ,  $R2_1 = R2_2 \oplus d_2$ ,  $R3_1 = R3_2 \oplus d_3$  cu  $d_1, d_2, d_3$  constante.

2. Fiind dată valoarea lui  $R4$ , diferența  $k_1 \oplus k_2$  este liniară în  $R1_1, R2_1, R3_1$ . Deci, fiind dat  $R4$ , se cunoaște comportarea tuturor regiștrilor.

Fie  $l_1, l_2$  și  $l_3$  valori reprezentând câți tacti au avansat regiștrii  $R1, R2$  și  $R3$  până la sfârșitul ciclului  $i$ .

Valorile celor trei regiștri la încheierea ciclului  $i$  din primul frame sunt  $L1^{l_1}R1_1$ ,  $L2^{l_2}R2_2$  și  $L3^{l_3}R3_3$  cu  $L1, L2$  și  $L3$  matrici care reprezintă un tact pentru regiștrul corespunzător.

Analog, pentru frame-ul al doilea, valorile celor trei regiștri la sfârșitul ciclului  $i$  sunt  $L1^{l_1}(R1_1 \oplus d_1)$ ,  $L2^{l_2}(R2_2 \oplus d_2)$  și  $L3^{l_3}(R3_3 \oplus d_3)$ .

Notând cu  $g_1(R1) \oplus g_2(R2) \oplus g_3(R3)$  bitul de ieșire din  $A5/2$ , se observă că funcțiile  $g_1(\cdot)$ ,  $g_2(\cdot)$  și  $g_3(\cdot)$  sunt pătratice (obținute prin aplicarea funcției *maj*).

3. Goldberg, Wagner și Green au mai observat că *XOR*-ul dintre biții de ieșire poate fi exprimat ca funcție liniară între biții stării interne din primul frame.

*XOR*-ul dintre biții de ieșire (la ciclul  $i$ ) ai celor două frame - uri este:

$$g_1(L1^{l_1} \cdot R1_1) \oplus g_1(L1^{l_1} \cdot R1_1 \oplus d_1) \oplus g_2(L2^{l_2} \cdot R2_1) \oplus g_2(L2^{l_2} \cdot R2_1 \oplus d_2) \\ \oplus g_3(L3^{l_3} \cdot R3_1) \oplus g_3(L3^{l_3} \cdot R3_1 \oplus d_3) = g_{d_1}(L1^{l_1} \cdot R1_1) \oplus g_{d_2}(L2^{l_2} \cdot R2_1) \oplus g_{d_3}(L3^{l_3} \cdot R3_1)$$

unde  $g_{d_1}(\cdot)$ ,  $g_{d_2}(\cdot)$ ,  $g_{d_3}(\cdot)$  se pot defini ca funcții liniare.

Deci *XOR*-ul de ieșire este liniar în  $R1_1, R2_2, R3_3$ . Mai rămâne de văzut dacă funcțiile  $g_{d_1}(\cdot)$ ,  $g_{d_2}(\cdot)$ ,  $g_{d_3}(\cdot)$  sunt liniare.

Mai general, rămâne de arătat că pentru o funcție pătratică  $g(x_1, \dots, x_n)$  și  $d = d_1, \dots, d_n$  cu  $x_i, d_i \in \{0, 1\}$ , funcția

$$g_d = g(x_1, \dots, x_n) \oplus g(x_1 \oplus d_1, x_2 \oplus d_2, \dots, x_n \oplus d_n)$$

este liniară în  $x_1, \dots, x_n$ .

4. Deoarece  $g$  este pătratică și  $x_i x_i = x_i$ ,  $g$  poate fi scris astfel:

$$g(x_1, \dots, x_n) = \sum_{1 \leq i, j \leq n} a_{i,j} x_i x_j \oplus a_{0,0}$$

unde  $a_{i,j} \in \{0, 1\}$  sunt fixate pentru un anumit  $g$ .

Deci,

$$g_d = \sum_{1 \leq i, j \leq n} a_{i,j} (x_i x_j \oplus (x_i \oplus d_i) \oplus (x_j \oplus d_j)) = \\ = \sum_{1 \leq i, j \leq n} a_{i,j} (x_i x_j \oplus x_i x_j \oplus x_i d_j \oplus d_i x_j \oplus d_i d_j) = \sum_{1 \leq i, j \leq n} a_{i,j} (\oplus x_i d_j \oplus d_i x_j \oplus d_i d_j)$$

Fiind date  $d_1, \dots, d_n$ , ultima expresie este liniară în  $x_1, \dots, x_n$ .

Prin urmare, știind  $R4$  și  $k_1 \oplus k_2$ , stările interne  $R1_1, R2_1$  și  $R3_1$  pot fi aflate prin rezolvarea unui sistem de ecuații liniare.

$K_c$  poate fi obținut din starea internă inițială și  $f_1$  prin inversarea pașilor de inițializare din  $A5/2$ .

Cât despre  $R4$ , acesta nu se dă și deci *Oscar* trebuie să testeze pe rând toate cele  $2^{16}$  valori posibile pentru  $R4$  (lungimea lui este de 17 biți, dar  $R4[10]$  este setat pe 1) și pentru fiecare valoare să rezolve sistemul de ecuații liniare rezultat, până găsește o soluție consistentă.

O soluție mai rapidă este posibilă dacă se filtrează valorile corecte pentru  $R4$ .

Starea internă inițială a lui  $R1, R2$  și  $R3$  este pe 61 biți (trei biți din  $R1, R2, R3$  sunt setați pe 1).

Prin urmare, sunt necesari 61 biți din  $k_1 \oplus k_2$  pentru a construi  $K_c$ , în timp ce  $k_1 \oplus k_2$  are o lungime de 114 biți.

Este deci posibilă construirea unui sistem liniar unic determinat, a cărui soluție este starea internă. Cele  $114 - 61 = 53$  ecuații dependente se reduc prin eliminare gaussiană. Ele depind de valoarea lui  $R4$ ; deci, pentru fiecare valoare a lui  $R4$  se pot scrie 53 ecuații  $V_{R4} \cdot (k_1 \oplus k_2) = 0$  unde  $V_{R4}$  este o matrice de  $53 \times 114$  biți iar 0 este un vector cu 53 valori nule.

Redundanța se folosește pentru filtrarea valorilor greșite pentru care  $V_{R4} \cdot (k_1 \oplus k_2) \neq 0$ .

O implementare directă a atacului pe un calculator de  $2GHz$  pe 32 biți în care toate matricile posibile  $V_{R4}$  sunt preîncărcate, consumă aproximativ 15 MBs de memorie  $RAM$  și necesită câteva milisecunde  $CPU$  pentru filtrarea valorilor corecte pentru  $R4$ .

Odată ce s-a aflat  $R4$ , se pot rezolva ecuațiile liniare pentru valoarea sa, obținând astfel valorile pentru  $R1_1, R2_1$  și  $R3_1$ .

Stocarea acestor sisteme de ecuații după eliminarea Gauss necesită cam 60 MBs de memorie.

Timpul de preprocesare necesar (pentru calculul ecuațiilor și al matricilor  $V_{R4}$ ) pe un  $PC$  este de câteva minute.

Rămâne o problemă a acestui atac obținerea acelor frame-uri care se află exact la distanța cerută, cunoscând și XOR-ul dintre cheile fluide calculate pentru criptarea lor.

### Atacul Petrovici - Fuster - Sabater

Un alt atac cu text clar cunoscut este propus de Petrovic și Fuster-Sabater ([?]) în anul 2000.

El necesită patru frame-uri (nu neapărat separate de o anumită distanță) din secvența de ieșire pentru reconstrucția următorilor biți de ieșire. Deși atacul nu descoperă starea internă a lui  $A5/2$ , este totuși capabil să recupereze restul conversației.

Atacul mizează pe reinițializările dese care au loc în cadrul convorbirii (pentru fiecare frame transmis) și distribuția proastă a valorilor speciale marcate din  $LFSR$  pentru a reconstrui relațiile liniare dintre biții de ieșire.

După ce este realizată inițializarea algoritmului și cele 100 de cicluri care se ignoră, se scrie sistemul de ecuații neliniare având ca necunoscute stările regiștrilor care au avansat un tact. Pentru fiecare tact cu deplasare al algoritmului, sistemului i se adaugă o nouă ecuație. Probabilitatea ca rangul matricii să fie apropiat de numărul de variabile este destul de mică. Dar – chiar și așa – este posibilă stabilirea relațiilor liniare între biții necunoscuți care urmează a fi aflați și mulțimea de biți cunoscuți.

Atacul propus se bazează pe analiza sistemului de ecuații asociat fiecărei stări inițiale a registrului  $R4$ .

După primul set de operații din partea de inițializare (cel în care se aplică  $XOR$  între primii biți din registre și cheia secretă), se poate scrie un sistem de ecuații neliniare având ca variabile stările interne ale primilor trei regiștri la acel moment. Aceste variabile se notează  $x_1, \dots, x_{64}$  unde primele 19 variabile corespund stării din  $R1$ , următoarele 22 corespund stării din  $R2$  iar ultimele 23 corespund stării din  $R3$ . Ecuațiile obținute sunt pătratice. Numărul maxim de variabile din sistemul liniarizat asociat este:

$$n = 64 + \binom{19}{2} + \binom{22}{2} + \binom{23}{2}$$

Sistemul de ecuații obținut este liniarizat prin înlocuirea termenilor neliniari cu noi variabile compuse. *Oscar* poate folosi ecuațiile liniar dependente pentru a reconstrui biții necunoscuți de la ieșire care apar la foarte scurt timp după biții cunoscuți.

### 5.6.2 Atacurile Elad Barkan, Eli Biham și Nathan Keller

#### Atac neoptimizat cu text clar

Un atac cu text clar cunoscut care îmbunătățește primul atac descris anterior a fost realizat în 2003 de o echipă de cercetători din Israel: Elad Barkan, Eli Biham și Nathan Keller ([?]). Ca și atacul Petrovici - Fuster - Sabater, el necesită patru frame-uri; dar în final recuperează starea internă dată de  $R1, R2, R3, R4$  și găsește și cheia de sesiune.

Atacul determină valoarea lui  $R4$  și scrie fiecare bit de ieșire ca un termen pătratic depinzând de  $R1, R2$  și  $R3$ . Autorii descriu o metodă de reprezentare a fiecărui bit de ieșire ca un termen pătratic în stările  $R1, R2, R3$  din primul frame.

Având astfel biții de ieșire din patru frame-uri, ei construiesc un sistem de ecuații pătratice pe care îl rezolvă prin liniarizare, recuperând valorile inițiale pentru  $R1, R2$  și  $R3$ .

În continuare vom detalia modul de construire a sistemului, precum și rezolvarea lui.

Fie  $k_1, k_2, k_3, k_4$  cheile fluide din cele patru frame-uri  $f_1, f_2, f_3, f_4$ . Fiecare  $k_j$  reprezintă ieșirea unui frame complet, deci are 114 biți lungime. Starea inițială internă din registrul  $Ri$  din frame-ul  $f_j$  (după liniarizare, dar înainte de cei 99 tacti) se notează cu  $Ri_j$ .

Fiecare bit de ieșire poate fi scris ca o funcție pătratică depinzând de starea inițială internă a regiștrilor  $R1, R2$  și  $R3$ . Scopul urmărit este construirea unui sistem de ecuații pătratice care exprimă egalitatea între termenii pătratici pentru fiecare bit de ieșire, și valoarea actuală a bitului din cheia fluidă cunoscută. Soluția unui astfel de sistem ar face cunoscută starea internă inițială.

Impedimentul principal este faptul că rezolvarea unui sistem de ecuații pătratice este o problemă  $NP$  - completă. Totuși, există facilități când sistemul este supradefinit (sunt 61 variabile și 114 ecuații), iar complexitatea lui scade considerabil pe măsură ce ecartul dintre numărul de ecuații și numărul de variabile crește. Prin urmare, vom adăuga ecuații

din alte frame-uri, cu condiția ca ele să fie definite peste aceleași variabile: valorile inițiale ale lui  $R1, R2, R3$  din frame-ul  $f_1$ .

Odată combinate ecuațiile din patru frame-uri, sistemul se rezolvă prin liniarizare. Se construiesc astfel de sisteme pentru fiecare din cele  $2^{16}$  valori posibile pentru  $R4_1$  și se rezolvă până se găsește o soluție consistentă.

Soluția este starea inițială internă a frame-ului  $f_1$ .

Din modul de calcul, funcția majoritară operează pe biții aceluiasi registru. Deci, termenii pătratici constau din perechi de variabile din același registru.  $R1$  contribuie cu 18 variabile și toate cele  $\frac{17 \cdot 18}{2} = 153$  produse ale lor,  $R2$  contribuie cu  $21 + \frac{21 \cdot 20}{2} = 21 + 210$  variabile, iar  $R3$  contribuie cu  $22 + \frac{22 \cdot 21}{2} = 22 + 231$  variabile; deci după liniarizare rezultă 655 variabile. La acestea se adaugă constanta 1 care reprezintă partea afină a ecuațiilor. Mulțimea acestor 656 variabile pentru frame-ul  $f_i$  se notează cu  $S_i$ .

Rămâne de arătat cum se pot descrie biții de ieșire din frame-urile  $f_2, f_3, f_4$  drept combinații liniare de variabile din mulțimea  $S_1$ . Se presupune cunoscută valoarea lui  $R4_1$  și faptul că inițializarea este liniară în valoarea publică  $f$ .

Cum  $R1_1, R2_1, R3_1$  sunt necunoscute, știm numai  $XOR$ -ul dintre  $R1_1, R2_1, R3_1$  și respectiv  $R1_2, R2_2, R3_2$ .

Fiecare valoare din  $S_2$  va fi translatată în  $S_1$  astfel:

Fie  $\alpha_1$  valoarea concatenată a variabilelor liniare din  $S_1$  și  $g$  o funcție pătratică astfel încât  $S = g(\alpha_1)$ . Știm că valoarea concatenată a variabilelor liniare din  $S_2$  poate fi scrisă ca  $\alpha_2 = \alpha_1 \oplus d_{1,2}$  și deci  $S_2 = g(\alpha_2)$ .

La fel ca în primul atac,  $XOR$ -ul dintre  $S_2$  și  $S_1$  este liniar în biții lui  $\alpha_1$ , deci  $S_2$  poate fi scris în termeni liniari în variabilele lui  $S_1$ .

Se poate construi deci un sistem de ecuații pătratice folosind cheile fluide din cele patru frame-uri, cu variabile luate numai din  $S_1$ . Se va crea un sistem de ecuații de forma  $S_{R4_1} \cdot S_1 = k$  unde  $S_{R4_1}$  este matricea sistemului de dimensiune  $456 \times 656$ , iar  $k = k_1 || k_2 || k_3 || k_4$  (de 456 biți).

Odată obținute 656 ecuații liniar independente, sistemul poate fi rezolvat prin eliminare gaussiană. Se observă însă că – practic – este dificil să colecționăm 656 ecuații liniar independente (datorită frecvențelor inițializări ale algoritmului A5/2 – odată la fiecare 228 biți). Nu trebuie aflate însă toate variabilele, ci numai cele liniare. Autorii au ajuns experimental la concluzia că aproximativ 450 ecuații liniar independente sunt suficiente pentru a determina valorile variabilelor liniare originale din  $S_1$ .

De asemenea se mai pot obține 13 ecuații liniare adiționale, datorită cunoașterii lui  $R4_1$  și a numărului de frame. Fie  $R1234_1 = R1_1 || R2_1 || R3_1 || R4_1$  un vector de 77 biți (neluând în considerare cei patru biți setați pe 1 în cadrul procedurii de inițializare). Cum  $R1234_1$  este liniar în biții lui  $K_c$  și  $f_1$ , putem scrie:

$$R1234_1 = N_K \cdot K_c \oplus N_f \cdot f_1 \quad (1)$$

unde  $N_K$  este o matrice de  $77 \times 64$  și  $N_f$  este o matrice de  $77 \times 22$  care reprezintă

componenta de inițializare din  $A5/2$ . Spațiul liniar generat de coloanele lui  $N_K$  este de dimensiune 64, dar cum fiecare vector are 77 de biți, rămân 13 ecuații liniare în  $N_K \cdot K_c$ . Fie  $H_K$  matricea acestor ecuații, de dimensiune  $13 \times 77$ :

$$H_K \cdot N_k = 0$$

unde 0 este matricea nulă de dimensiuni  $13 \times 64$ .

Prin multiplicarea relației (1) la stânga cu  $H_K$  se obține:

$$H_K \cdot R1234_1 = H_K \cdot N_K \cdot K_c \oplus H_K \cdot N_f \cdot f_1 = H_K \cdot N_f \cdot f_1$$

$H_K$  se poate împărți în  $H_K^L$  și  $H_K^R$  astfel încât:

$$H_K \cdot R1234_1 = H_K^L \cdot R123_1 \oplus H_K^R \cdot R4_1$$

unde  $H_K = H_K^L \parallel H_K^R$ , cu  $H_K^L$  de dimensiune  $13 \times 61$ ,  $H_K^R$  de dimensiune  $13 \times 16$  și  $R123_1 = R1_1 \parallel R2_1 \parallel R3_1$ .

Rezultă:

$$H_K \cdot N_f \cdot f_1 = H_K \cdot R1234_1 = H_K^L \cdot R123_1 \oplus H_K^R \cdot R4_1$$

care poate fi scris:

$$H_K^L \cdot R123_1 = H_K \cdot N_f \cdot f_1 \oplus H_K^R \cdot R4_1.$$

Deci, pe baza lui  $R4_1$  și a lui  $f_1$  se pot obține 13 ecuații liniare peste biții din regiștrii  $R1, R2, R3$ .

Recapitulând, atacul constă în:

1. Se încearcă toate cele  $2^{16}$  valori;
2. Pentru fiecare valoare se rezolvă sistemul liniarizat de ecuații care descriu biții de ieșire pentru patru frame-uri.
3. Soluția obținută plus valoarea lui  $R4_1$  reprezintă o sugestie pentru starea internă. Majoritatea valorilor lui  $R4_1$  pot fi identificate ușor datorită inconsistențelor apărute la eliminarea gaussiană.

Complexitatea timp a atacului se poate calcula astfel: sunt  $2^{16}$  valori aleatoare pentru biții din  $R4_1$ . Pentru fiecare valoare se rezolvă un sistem liniar binar de 656 variabile, care presupune  $656^3 \approx 2^{28}$  operații  $XOR$ .

Deci, complexitatea totală este de aproximativ  $2^{44}$  operații  $XOR$ .

Autorii spun că implementarea algoritmului pe un sistem Linux 800 MHz Pentium III găsește starea internă în aproximativ 40 de minute (estimare 2003) și necesită puțină memorie (sistemul liniarizat ocupă aproximativ 54 KB).

### Un atac optimizat asupra lui A5/2

După publicarea atacului anterior, aceeași autori revin cu o versiune optimizată, care găsește  $K_c$  în câteva milisecunde, folosind tabele precalculate și stocate în memorie.

Ideea de bază este următoarea: într-o fază de precalcul, pentru fiecare valoare  $R_{41}$  se determină dependențele care apar în timpul eliminării gaussiene pentru sistemul de ecuații. Apoi – în faza de atac – se filtrează valorile corecte pentru  $R_{41}$  prin aplicarea verificărilor de consistență pe cheile fluide cunoscute.

Deci, într-o primă fază de precalcul, se stabilesc în avans sistemele de ecuații pentru toate valorile  $R_{41}$ . Tot în avans se rezolvă fiecare astfel de sistem; în particular, fiind dat un sistem de ecuații  $S_{R_{41}} \cdot S_1 = k$ , se calculează o matrice  $T_{R_{41}}$  pentru care  $T_{R_{41}} \cdot S_{R_{41}}$  este rezultatul eliminării Gauss a lui  $S_{R_{41}}$ . Cum  $S_{R_{41}}$  nu depinde numai de  $R_{41}$  dar și de  $XOR$ -ul dintre valorile  $f$  ale frame-urilor, trebuie efectuat un precalcul pentru mai multe  $XOR$ -uri de valori  $f$ . Similar atacului anterior,  $XOR$ -ul între valorile  $f$  este folosit la translatarea mulțimilor de variabile  $S_1, S_2, S_3$  în  $S_1$ .

Fiind necesară cunoașterea în avans a acestor diferențe  $XOR$ , se efectuează precacule pentru diverse valori posibile pentru diferențe, iar rezultatele se păstrează în tabele. Apoi, în faza de atac, se folosesc tabelele asociate valorilor  $f$  din frame-uri.

Dacă se dau valori pentru cheile fluide corespunzătoare unui frame având valoarea  $f$  neacoperită de precaculele făcute, aceste chei se vor abandona, așteptându-se altele, care îndeplinesc cerința menționată.

Revenind la faza de atac, se calculează  $t = T_{R_{41}} \cdot k$  pentru fiecare valoare a lui  $R_{41}$ . Primele elemente ale vectorului  $t$  sunt variabilele din  $S_1$  parțial rezolvate; dar – deoarece unele ecuații sunt liniar dependente – restul elementelor lui  $t$  ar trebui să fie zero (reprezentând ecuațiile dependente). Prin urmare, se verifică dacă ultimele elemente din  $t$  sunt într-adevăr nule (cheia  $k$  este consistentă cu valoarea testată pentru  $R_{41}$ ). Odată găsită o valoare consistentă pentru  $R_{41}$ , ea poate fi verificată prin calcularea cheii și efectuarea de teste prin criptare.

O implementare mai rapidă nu reține în memorie matricea  $T_{R_{41}}$ , ci doar ultimele linii  $T_{R_{41}}^0$ : cele care corespund elementelor nule din  $t$ . Apoi, pentru verificarea consistenței valorii  $R_{41}$ , se poate testa numai dacă  $t' = T_{R_{41}}^0 \cdot k$  este un vector de zero-uri.

Analiza complexității timp și spațiu a atacului folosind un singur tabel precalculat (pentru un singur  $XOR$  între valorile  $f$  ale frame-urilor): autorii spun că timpul necesar pentru precacule este comparabil cu timpul necesar pentru efectuarea atacului în varianta neoptimizată, adică aproximativ 40 minute. În faza de atac, trebuie păstrate în memorie matricile (pentru operații rapide). O singură matrice de sistem are cam  $456 \cdot 16$  biți, deci sunt necesari cam 60 MBs pentru reținerea tabelului corespunzător a  $2^{16}$  valori posibile ale lui  $R_{41}$ . Alți  $64 \cdot 456 \cdot 216 \approx 240$  MBs sunt necesari pentru păstrarea matricilor folosite la aflarea stării interne având  $R_{41}$  și cheia fluidă respectivă.

Timpul atacului este de 250 cicluri CPU pentru înmulțirea și verificarea unei matrici, sau aproximativ câteva milisecunde în total pe un PC (date 2006). După aflarea unui

candidat pentru  $R4_1$ , încărcarea matricei soluție relevante de pe disc durează câteva zeci de milisecunde.

În implementarea autorilor, atacul durează mai puțin de o secundă pe un *PC*.

### Atac cu text criptat

În această secțiune este prezentat un atac care transformă atacurile anterioare într-unul cu text criptat cunoscut, și care verifică anumite combinații liniare de biți dinainte de criptare, bazându-se pe teoria codurilor corectoare de erori.

*GSM* folosește corectarea erorilor pentru a rezista la erorile de canal. În timpul transmisiei, un mesaj este întâi transformat cu un cod corector de erori, ceea ce mărește considerabil lungimea mesajului. În faza a doua, mesajul este criptat și ulterior transmis. Această procedură inversată contrazice practica obișnuită: de a cripta întâi un mesaj și apoi de a-l codifica cu un cod corector de erori. Tocmai această trecere a mesajului prin codurile corectoare de erori înainte de criptare introduce o redondanță exploatată în atacul curent.

Există diverse scheme de corectare a erorilor în *GSM*, pentru diferite canale. Autorii atacului s-au concentrat asupra codurilor corectoare de erori aplicate canalului *SACCh*, folosite de asemenea și pentru canalul *SDCCh*. Ambele canale sunt utilizate la începutul apelului. Alte canale sunt accesate în alte etape ale conversației, iar atacul propus poate fi adaptat și la acestea (deși este suficient să găsim cheia pe canalul *SDCCh* la începutul apelului, pentru că aceasta nu se schimbă în timpul conversației).

În *SACCh*, mesajul sursă (care se codifică) are o lungime fixă de 184 biți; după codificare, va avea 456 biți. Acestora li se aplică procedura de interleaving<sup>5</sup>, după care sunt împărțiți în patru frame-uri, ulterior criptate și transmise.

Operațiile de codificare și interleaving pot fi modelate împreună ca o multiplicare a mesajului sursă (reprezentat ca un vector binar  $P$  de 184 biți) cu o matrice  $G$  de dimensiune  $456 \times 184$  peste  $GF(2)$  și apoi *XOR*-area rezultatului cu un vector constant  $g$ :

$$M = (G \cdot P) \oplus g \quad (2)$$

Vectorul  $M$  este împărțit apoi în patru frame-uri, iar fiecare este criptat conform procedeului corespunzător algoritmului A5/2.

Cum  $G$  este o matrice binară, pentru orice vector  $M$  care verifică (2) există  $456 - 184 = 272$  ecuații liniar independente.

Fie  $H$  o matrice definită prin relația

$$H \cdot (M \oplus g) = 0$$

unde  $M$  este dat de (2) (în teoria codurilor,  $H$  se numește *matrice de control*).

<sup>5</sup>Pentru detalii privind tehnicile de codificare, a se vedea [?].



Să arătăm cum se folosește redondanța mesajului pentru a lansa atacul. Mesajul criptat este calculat după formula

$$C = M \oplus k$$

unde  $k = k_1 || k_2 || k_3 || k_4$  este cheia fluidă pentru cele patru frame-uri. Se folosesc aceleași ecuații pentru  $C \oplus g$  adică

$$H \cdot (C \oplus g) = H \cdot (M \oplus k \oplus g) = H \cdot (M \oplus k) \oplus H \cdot k = 0 \oplus H \cdot k = H \cdot k$$

Cum valoarea textului criptat  $C$  este cunoscută ( $g$  este fixat și cunoscut), ceea ce rămâne sunt ecuații liniare peste biții lui  $k$ .

Pentru fiecare ghicire a lui  $R_{41}$  se înlocuiește fiecare bit al lui  $k$  în acest sistem de ecuații, cu descrierea sa ca termen liniar peste  $S_1$ ; se ajunge la un sistem de ecuații peste cele 656 variabile din  $S_1$ . Fiecare bloc de 456 biți care se codifică furnizează cele 272 ecuații menționate anterior; deci, după două astfel de blocuri se obțin peste 450 ecuații.

Într-o manieră asemănătoare atacului neoptimizat, se efectuează apoi eliminări gaussiene, cele 450 ecuații fiind suficiente pentru a găsi valorile variabilelor liniare originale din  $S_1$ .

În final,  $K_c$  este determinat prin inversarea etapei de inițializare din A5/2.

Restul atacului și complexitatea timp sunt similare cu cazul precedent. Principala diferență este aceea că în atacurile precedente se cunosc biții cheilor fluide, în timp ce în acest atac se cunoasc valorile combinațiilor liniare ale biților cheii fluide.

Prin urmare, ecuațiile rezultate aici sunt combinații liniare ale ecuațiilor din atacurile precedente.

**Exemplul 5.5.** Fie  $S_{R_{41}} \cdot S_1 = k$  un sistem de ecuații din atacul optimizat, unde  $S_{R_{41}}$  este matricea sistemului.

Înmulțim acest sistem la stânga cu  $H$  și obținem

$$(H \cdot S_{R_{41}}) \cdot S_1 = (H \cdot k).$$

$H$  este matricea fixată prezentată anterior iar  $H \cdot k$  este calculat din textul criptat. Prin urmare, acest sistem se poate rezolva și atacul continuă ca în secțiunea anterioară.

În atacul cu text clar cunoscut, se încearcă toate cele  $2^{16}$  sisteme de ecuații posibile  $S$ .

În atacul cu text criptat cunoscut, se încearcă toate cele  $2^{16}$  sisteme de ecuații posibile  $H \cdot S_{R_{41}}$ . În faza sa de precalcul, pentru fiecare astfel de sistem se găsesc dependențele liniare ale liniilor (prin eliminare gaussiană). Când se trece la faza de atac, se elimină valorile greșite ale lui  $R_{41}$  verificând dacă dependențele liniare găsite în etapa de precalcul se mențin pe biții lui  $H \cdot k$ .

O diferență tehnică între atacul cu text criptat și atacul cu text clar cunoscut este aceea că – în timp ce pentru cel din urmă atac, patru frame-uri de text clar furnizează suficiente ecuații, pentru primul atac sunt necesare opt frame-uri.

Motivul este că în atacul cu text criptat, din 456 biți de text criptat se extrag numai 272 de ecuații.

Complexitatea timp a atacului cu text criptat optimizat este aceeași ca în cazul atacului cu text clar optimizat. Autorii au implementat o simulare a atacului și au certificat experimental aceste rezultate.

### 5.6.3 Atac hardware asupra lui $A5/2$

Atacul prezentat în această secțiune a fost publicat într-un articol din 2007 ([?]). Autorii pornesc de la atacul cu text criptat cunoscut și arată că atacul bazat pe hardware aduce îmbunătățiri în termeni de timp, memorie și flexibilitate.

Abordarea este similară cu cea descrisă în atacul anterior, dar fără a folosi precalcule și fără a impune condiții asupra frame-urilor de text criptat. Mai mult, autorii au creat o arhitectură care să atace direct canalul de vorbire. În particular, pentru atac se folosesc frame-uri de text criptat din canalele de trafic pentru vorbire ( $TCh$ ) în loc de canale de control specifice ( $SDCCh$ ). Avantajul este că monitorizarea (pentru recepționarea de frame-uri) poate începe oricând în timpul apelului, fără a fi nevoie să se aștepte trimiterea pachetelor de date printr-un canal de control specific.

Atacul asupra canalului de vorbire necesită 16 frame-uri de text criptat la intrare, iar la ieșire va găsi starea inițială (secretă). Principalele părți ale arhitecturii hard constau în 3 generatori de ecuații și un bloc care se ocupă de rezolvarea sistemelor liniare. Componenta hardware propusă pentru cel din urma bloc se numește *SMITH* și poate rezolva orice sistem supra-determinat de ecuații liniare, efectuând extrem de rapid eliminări gaussiene. Ea a fost construită pe un *FPGA* (rețea de porți logice reconfigurabile) de cost redus iar ideea matematică este următoarea: un sistem liniar de ecuații de forma  $A \cdot x = b$  se transformă (prin aplicarea operațiilor elementare asupra liniilor) în sistemul echivalent

$$U \cdot x = b' \quad (3)$$

unde  $U$  este o matrice superior triunghiulară.

Sistemul (3) poate fi rezolvat prin substituție inversă. Folosindu-se de paralelizare hardware, complexitatea timp este cel mult pătratică, iar cea medie este liniară.

La o iterație, fiecare generator de ecuații produce o ecuație liniară având ca variabile biții stării interne din  $A5/2$ . După 185 iterații (când au fost încărcate 555 ecuații), blocul *SMITH* efectuează eliminări Gauss - Jordan paralelizate. Ieșirea sugerează starea secretă candidată – cea care trebuie verificată. Candidatul corect este astfel găsit după aproximativ 228 tacti.

În această formă, atacul se poate realiza într-o secundă, la o viteză de operare de 256 MHz pentru principala componentă chip și 512 MHz pentru celelalte, arhitectura consumând numai 12,8 wați.

Abordarea atacului este similară cu cea propusă în atacul cu text criptat; el necesită  $l$  frame-uri criptate cu aceeași cheie de sesiune  $K$ .

Parametrul  $l$  depinde de canalul ce va fi atacat. De pildă, sunt necesare 16 frame-uri pentru atacul asupra canalului de vorbire și în jur de 8 frame-uri pentru atacul canalului

*SDCCh*.

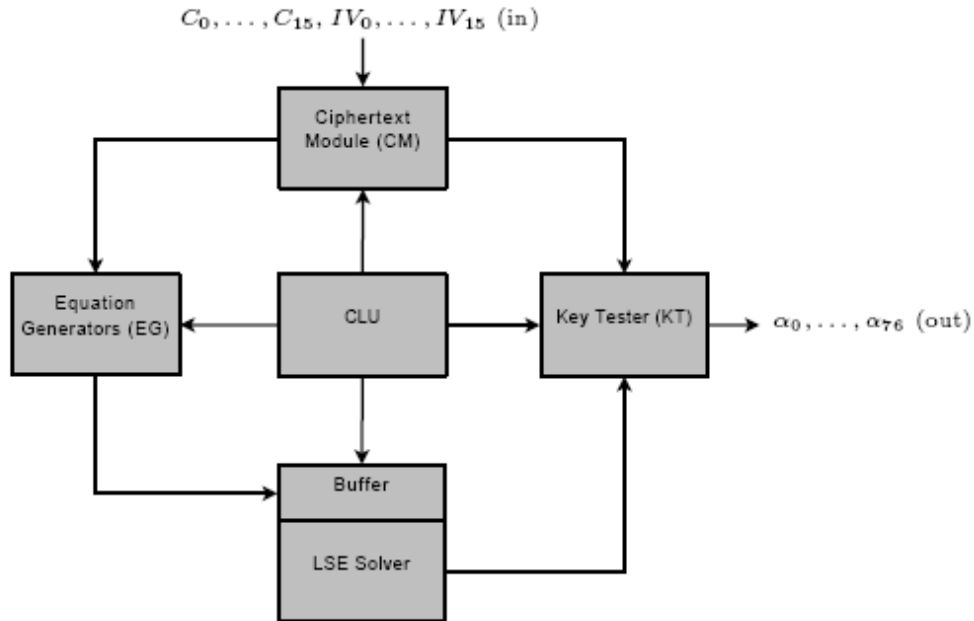
Ideea generală este de a ghici starea internă a registrului  $R4$  chiar după inițializare, și de a scrie fiecare bit al cheii generate – folosită pentru criptarea celor  $l$  frame-uri de text criptat – în termeni de stările inițiale ale regiștrilor  $R1, R2, R3$ .

Folosind anumite informații despre biții cheii, se construiește un sistem supradeterminat pătratic de ecuații, care apoi este liniarizat și rezolvat prin eliminări gaussiene.

Procedura se repetă pentru diverse valori ale lui  $R4$  până este găsită soluția corectă. Cu aceasta se poate construi ușor starea internă a lui  $A5/2$  după inițializare, pentru frame-uri arbitrar care au fost criptate folosind cheia  $K$ .

Apoi se pot decipta toate celelalte frame-uri și găsi, în final, cheia de sesiune.

Arhitectura necesară pentru realizarea atacului este schițată în figura de mai jos; ea acceptă la intrare 16 frame-uri de text criptat și cele 16 numere  $f$  de frame corespunzătoare; ieșirea conține starea inițială internă a celor 4 regiștri, formată din 77 biți  $\alpha_0, \dots, \alpha_{77}$  (s-au exclus cei 4 biți setați pe valoarea 1).



*Arhitectură propusă pentru atacul A5/2*

Cele 16 frame-uri – împreună cu numerele de frame corespunzătoare, notate  $IV$  – sunt stocate în Ciphertext Module ( $CM$ ). Fiecare din cei trei generatori de ecuații ( $EG$ ) generează 185 ecuații liniare având biții  $\alpha_i$  ( $0 \leq i \leq 60$ ) ca variabile.

$EG$  primesc biții de text criptat și numerele de frame  $IV$  de la  $CM$ . Fiecare ecuație generată este trecută în bufferul din blocul care rezolvă ecuațiile ( $LSE$  - Solver). Bufferul este necesar pentru că  $LSE$ – $Solver$ -ul acceptă o ecuație la fiecare tact, iar cele trei  $EG$ -uri produc simultan câte o ecuație. După ce cele 555 ecuații se acumulează în  $LSE$  –  $Solver$ , acesta lansează etapa de rezolvare, producând un candidat pentru starea secretă.

Candidatul este trimis din *LSE – Solver* către *Key Tester*, care verifică dacă a fost găsită o stare corectă.

Procesul de verificare se desfășoară în paralel cu determinarea unui nou candidat. Mai precis, în timp ce ecuațiile pentru al  $j$ -lea candidat sunt generate de *EG*, al  $(j - 1)$ -lea candidat este testat de către *KT*. Toate procesele sunt controlate de *Unitatea Logică de Control*, care efectuează sincronizarea și clocking-ul pentru *CM*, *EG*, *LSE – Solver* și *KT*. Principala sarcină este de a verifica dacă ecuațiile conțin combinații corecte de biți de text criptat și cheie.

## 5.7 Concluzii

Modelul de securitate propus de standardul *GSM* este compromis pe mai multe nivele și este deci vulnerabil la atacuri care țintesc anumite părți ale rețelei operatorului. Algoritmii de securitate (nepublicați) încorporați în sistem s-au dovedit nesiguri. Algoritmul *A5/2* folosit pentru criptare este vulnerabil la atacuri cu text clar și chiar cu text criptat, iar dimensiunea redusă a spațiului cheii și a regiștrilor *LFSR* din arhitectura algoritmilor de criptare permit chiar un atac prin forță brută.

Există mai multe atacuri publicate pentru ambii algoritmi *A5/1* și *A5/2*.

Atacul pentru algoritmul *A5/2* – care necesită numai 4 frame-uri de text clar cunoscut și se bazează pe o etapă masivă de precalculeori – reușește obținerea cheii și decriptarea într-un timp foarte scurt, de numai o secundă. Etapa de precalcul poate fi efectuată pe majoritatea computerelor actuale.

Pe de altă parte, atacul bazat pe hardware aduce îmbunătățiri în complexitatea timp; el se bazează pe o arhitectură hardware masiv paralelă, care elimină necesitatea unei etape premergătoare de calcule.

Atacurile asupra algoritmului *A5/1* sunt și mai numeroase, ridică probleme mai mari, dar chiar și în acest caz progresele tehnice simplifică mult lucrurile. Cea mai recentă propunere de atac pentru *A5/1* ([?]) este de asemenea bazată pe hardware și este remarcabilă pentru că este complet pasivă, costul total pentru hardware se situează în jurul sumei de numai 1000 dolari, iar timpul total de spargere a cheii este de 30 de minute (putând ajunge și la câteva secunde, dacă se mărește puterea hardware).

Slăbiciunile dovedite ale algoritmilor de criptare *GSM* nu sunt singurele existente în sistem. Anonimitatea poate fi atacată activ, folosind echipamente care pot fi achiziționate la prețuri relativ modice (de pildă, dacă se folosește o stație de bază uzată).

Amenințările legate de clonarea *SIM* par să fie destul de reale. Este adevărat că metoda cea mai ușoară este prin acces fizic la cartela țintă, astfel încât nu poate fi o amenințare foarte serioasă. Pe de altă parte, pentru a clona o cartelă *SIM* fără a avea acces fizic la ea devine mult mai costisitor. În principiu, atacatorul are nevoie de o stație de bază cu semnal puternic, costul acesteia putând fi astăzi în jurul a câteva zeci de mii de dolari.

# Bibliografie

- [1] A. Atanasiu – *Securitatea informației, vol. 1 (Criptografie)*, Ed. Infodata, Cluj (2007)
- [2] A. Atanasiu – *Teoria codurilor corectoare de erori*, Ed. Universității București (2001)
- [3] P. Chandra – *BULLETPROOF WIRELESS SECURITY: GSM, UMTS, 802.11, and Ad Hoc Security (Communications Engineering)*, Elsevier (2005).
- [4] A. Mihăiță – *Securitatea sistemelor GSM*, Lucrare dizertație, 2009.
- [5] S. Martin – *Communication Systems for the Mobile Information Society*, Wiley (2006).
- [6] S. Redl, M. Weber, K. Matthias, M. Oliphant – *GSM and Personal Communications Handbook*, Artech House, 1998.
- [7] E. Barkan, E. Biham, N. Keller – *Instant Ciphertext-Only Cryptanalysis of GSM Encrypted Communication*, Journal of Cryptology, vol. 21, nr.3 (2008).
- [8] E. P. Barkan – *Cryptanalysis of Ciphers and Protocols*, PhD Thesis, Technion Israel Institute of Technology (2006)
- [9] P. Yousef – *GSM Security: a Survey and Evaluation of the Current Situation*, Master Thesis, Linkping, 2004
- [10] A. Bogdanov, T. Eisenbarth, A. Rupp – *A Hardware-Assisted Realtime Attack on A5/2 without Precomputations*, Cryptographic Hardware and Embedded Systems - CHES 2007, LNCS, Springer Verlag (2007).
- [11] P.T. Ngarm, P. Poocharoen – *GSM Security Vulnerability*, <http://islab.oregonstate.edu/koc/ece478/03Report/toparkngarm-poocharoen-project578.pdf>
- [12] M. Briceno, I. Goldberg, D. Wagner – *A pedagogical implementation of the GSM A5/1 and A5/2 "voice privacy" encrypted algorithms*, <http://cryptome.org/GSM-a512.htm>, 1999

- [13] N. Courtois, W. Meier – *Algebraic Attacks on Stream Ciphers with Linear Feedback*. In: Biham, E. (ed.) EUROCRYPT 2003. LNCS, vol. 2656, pp. 346359, Springer, Heidelberg (2003).
- [14] J. Neil Croft, S. O. Martin – *The use of a Third Party Proxy in Achieving GSM Anonymity*, Southern African Telecommunication Networks and Applications Conference 2004 (SATNAC 2004), D Browne (ed), Stellenbosch, Africa de Sud (2004).
- [15] S. Petrovic, A. Fuster-Sabater – *Cryptanalysis of the A5/2 Algorithm*, IACR ePrint, Report 200/52 (2000)
- [16] B. Schneier – <http://www.schneier.com/blog/>